

- Vincenzo.fiamma@unite.it
- Fiacca CRPE (Lavoro)
- Corso a 120 ore
- Sub prova orale
- Libro: Ghisla - Usceda

Ingegneria Fluviale ed Impianti Idroelettrici

Obiettivi formativi

Il corso di Ingegneria Fluviale e Impianti Idroelettrici approfondisce le conoscenze di base incontrate nel corso di Idraulica, ampliandone la visione teorico-interpretativa per arrivare a considerazioni essenziali per la figura dell'ingegnere. I temi principali del corso sono le acque superficiali (Correnti a superficie libera) e il moto vario nelle correnti in pressione (Colpo d'ariete). Data l'importanza della sperimentazione di laboratorio nei problemi idraulici, un altro argomento centrale è la teoria della modellazione; sono previste delle lezioni ed esercitazioni relative alla modellazione fisica e numerica di fenomeni idraulici (Similitudine e Modelli). Nel corso si affronterà il dimensionamento idraulico delle briglie aperte o selettive e verranno descritti e analizzati gli impianti Idroelettrici ad alta caduta e piccola portata. Il corso prevede, oltre alle ore di lezione, alcune ore di esercitazione per l'applicazione delle nozioni teoriche a problemi reali che possono interessare l'ingegnere civile.

La modalità di verifica finale prevede il sostenimento di una prova orale finalizzato ad accertare il livello di conoscenza e di comprensione raggiunto dallo studente dopo aver studiato la disciplina nonché di applicare le conoscenze acquisite e di individuare autonomamente soluzioni a problemi idraulici.

L'esame si esplica mediante una discussione di circa trenta minuti incentrata su almeno tre domande relative a diversi argomenti indicati nel programma della disciplina ed illustrati nel corso delle lezioni. Più specificatamente le domande saranno differenziate per grandi argomenti: idrostatica, idrodinamica, il moto vario nelle correnti in pressione, correnti a superficie libera.

Programma dettagliato

Proprietà e statica dei fluidi (1 credito)

Definizione di liquido. Grandezze dell'idraulica. Densità e peso specifico. Comprimibilità. Viscosità. Regimi di movimento. Sforzi interni nei liquidi in quiete. Equazione indefinita dell'idrostatica. Carico piezometrico. Strumenti di misura delle pressioni. Spinta su superfici piane. Equazione globale dell'equilibrio idrostatico. Spinta su superfici curve. Equilibrio dei corpi immersi. Stabilità dei corpi galleggianti.

Liquidi perfetti (1 credito)

Velocità e accelerazione. Elementi caratteristici del moto: traiettorie, linee di corrente. Tipi di movimento. Equazione di Eulero. Proiezione dell'equazione di Eulero lungo la tangente, la normale e la binormale di un punto di una traiettoria. Distribuzione della pressione nel piano normale. Correnti lineari. Il teorema di Bernoulli: interpretazione geometrica ed energetica del teorema di Bernoulli; applicazione del teorema di Bernoulli a processi di efflusso. Potenza di una corrente. Estensione del teorema di Bernoulli ad una corrente. Equazioni del moto vario per liquido perfetto: integrazione lungo una traiettoria e lungo una linea di corrente. Studio dell'avviamento del moto in una condotta. Studio delle oscillazioni di un pozzo piezometrico. Equazioni globali di equilibrio in condizioni dinamiche. Azioni dinamiche sulle turbine Pelton. Stramazzi: stramazzo Bazin; diga tracimante; stramazzo in parete grossa.

Modelli idraulici (0.5 crediti)

Analisi dimensionale: teorema Buckingham e sue applicazioni. Cenni sui modelli idraulici. Similitudine di Reynolds. Similitudine di Froude.

Fluidi reali (1 credito)

Equazione di Navier-Stokes. Equazione globale di equilibrio per un liquido reale. Applicazione dell'equazione di Navier al moto laminare: moto tra due piastre; moto in condotta circolare; moto in sezione rettangolare larga. Il moto turbolento; esperienza di Reynolds; equazione di equilibrio globale per il moto turbolento; genesi delle tensioni turbolente; distribuzione della velocità nella sezione circolare; indice di resistenza e sue espressioni per il tubo liscio e il tubo scabro; diagrammi di velocità in funzione dei parametri caratteristici del moto turbolento; formula di Colebrook; diagramma di Moody; problemi di progetto e di verifica risolti con il diagramma di Moody e con curve ausiliarie; dipendenza della perdita di carico per unità di lunghezza di tubazione dal diametro e dalla portata per i diversi tipi di moto; formule pratiche per il moto turbolento.

Moto vario nelle correnti in pressione (1 credito)

Impianti Idroelettrici. Il colpo d'ariete: descrizione del fenomeno; equazione del moto; equazione di continuità; integrali generali del colpo d'ariete; equazioni concatenate; determinazione del sovraccarico all'otturatore e in una generica sezione; formula di Allievi-Michaud.

GRANDEZZE E UNITA DI MISURA

SI

Sistema internazionale → entrato in vigore 1 gennaio 2000

MASSA	LUNGHEZZA	TEMPO	
M	L	T	Vi sono 3 grandezze fondamentali o indipendenti e tutte le altre derivano da queste
Kg <small>massa</small>	m	s	

ST

Sistema tecnico, non è più in vigore ma è utilizzato

	L	T	
F	L	T	Vi sono 3 grandezze fondamentali l'unica differenza è la prima grandezza
Kg <small>forza</small>	m	s	

Tutte le altre grandezze derivano da queste

GRANDEZZE CINEMATICHE → dipendono da lunghezza e tempo quindi non c'è differenza tra SI e ST

	t T	T	s
tempo	t T	T	s
velocità	V u s w	LT^{-1}	m/s
accelerazione	A g a	LT^{-2}	m/s^2
portata	Q	$L^3 T^{-1}$	m^3/s
viscosità cinematica	ν	$L^2 T^{-1}$	m^2/s

GRANDEZZE GEOMETRICHE → dipendono soltanto dalla lunghezza quindi non c'è differenza tra SI e ST

	L l	L	m
lunghezza	L l	L	m
area	A	L^2	m^2
volume	V	L^3	m^3

GRANDEZZE DINAMICHE NEL S.I. → dipendono da massa, lunghezza e tempo

	m, M	M	Kg
massa	m, M	M	Kg
forza	F, S, P	MLT^{-2}	N
peso specifico	γ	$ML^{-2}T^{-2}$	N/m^3
densità	ρ	ML^{-3}	Kg/m^3
viscosità dinamica	μ	$ML^{-1}T^{-1}$	$\frac{N}{m^2} \cdot s$
pressione	P	$ML^{-1}T^{-2}$	N/m^2
modulo di elasticità a compressione cubica	E	$ML^{-1}T^{-2}$	N/m^2

$(\vec{F} = m \cdot \vec{A}) \quad Kg \frac{m}{s^2} = N$
↓
Newton

tensione superficiale	σ	$T^{-2} \cdot L$	$\frac{N}{m}$
energia	E, J	$M^2 \cdot L^2 \cdot T^{-2}$	$N \cdot m$
Potenza	P	MLT^{-3}	$\frac{N \cdot m}{s} = W$

Il sistema tecnico fu utilizzato fino al 1960

GRANDEZZE DINAMICHE NEL S.T.

forza	F, S	M	Kg_{forza}	$\vec{F} = m \cdot \vec{a}$ $m = \frac{F}{a} = \frac{Kg \cdot s^2}{m}$
massa	m, M		$\frac{Kg \cdot s^2}{m}$	
peso specifico	γ		Kg/m^3	
densità	ρ		$\frac{Kg \cdot s^2}{m^4}$	
viscosità dinamica	μ		$Kg \cdot s/m^2$	
pressione	P		Kg/m^2	
modulo di elasticità a compressione cubica	E		Kg/m^2	
tensione superficiale	σ		Kg/m	
energia	E, J		$Kg \cdot m$	
potenza	P		$\frac{Kg \cdot m}{s} = eV \text{ (cavata)}$	

La differenza sta nel fatto che la massa è una grandezza derivata nel sistema tecnico

RELAZIONE TRA GRANDEZZE

$\vec{F} = m \cdot \vec{a}$ (II legge dinamica)

$\vec{P} = m \cdot \vec{g}$ (forza peso)

$1 Kg_{df} = 1 Kg_{dm} \cdot 9,81 m/s^2$

$Kg_{df} = 9,81 \frac{Kg \cdot m}{s^2} = 9,81 N$

$$1 \text{ eV} = 75 \text{ Kg} \cdot \frac{\text{m}}{\text{s}^2} = 75 \cdot 9,81 \text{ N} \cdot \frac{\text{m}}{\text{s}^2} = 735 \text{ W} = 0,735 \text{ KW}$$

Analizziamo alcune grandezze utili per l'idraulica

PESO SPECIFICO

$$\gamma = \frac{\text{Peso}}{\text{Volume}} = \frac{m \cdot g}{V} = \rho \cdot g$$

↳ ρ densità

Nel caso di acqua $\rho = 1000 \text{ Kg/m}^3$

$$\gamma = \rho \cdot g = 1000 \text{ Kg/m}^3 \cdot 9,81 \text{ m/s}^2 = 9806 \text{ N/m}^3 \quad \text{S.I.}$$

$$\gamma = \rho \cdot g = 1000 \text{ Kg/m}^3 \quad \text{S.I.} \quad \text{perché} \quad \gamma = \frac{1000}{9,81} \cdot 9,81 = 1000 \text{ Kg/m}^3$$

$$\rho = \frac{\gamma}{g} = \frac{1000}{9,81} = 102 \text{ Kg} \cdot \frac{\text{s}^2}{\text{m}^2} \rightarrow \text{vale nel sistema tecnico ma non deve essere utilizzato questo valore}$$

Quindi per la densità dell'acqua si fa riferimento al S.I.

$$\rho = 9806 \text{ N/m}^3 \text{ ACQUA}$$

$$\rho = 133300 \text{ N/m}^3 \text{ MERCURIO}$$

Consideriamo corrente idrica e la sua forza di trascinamento che la corrente esercita su un corpo di area A esposto alla corrente

$$F_a = \frac{1}{2} \rho C_d A v^2$$

ρ : densità fluido
 C_d : coeff. di resistenza (numero adimensionale)
 v : velocità costante della corrente

Nella formula compaiono più grandezze perciò bisogna fare l'analisi dimensionale

$$\rho = 1000 \text{ Kg/m}^3 \text{ (acqua dolce)}$$

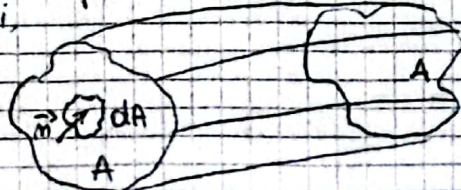
$$\rho = 1027 \text{ Kg/m}^3 \text{ (acqua salata)}$$

$$\frac{\text{Kg}}{\text{m}^3} \cdot \frac{\text{m}^2}{\text{m}^2} \cdot \frac{\text{m}^2}{\text{s}^2} = \frac{\text{Kg} \cdot \text{m}}{\text{s}^2} = \text{N} \rightarrow \text{forza espressa in Newton}$$

PORTATA IDRICA

$$Q = \frac{\text{Volume}}{\text{tempo}}$$

Consideriamo un tubo di flusso con delimitato dalle linee di flusso con due sezioni, una di ingresso e l'altra di uscita



Il vettore velocità è tangente alle linee di corrente

Consideriamo un'area infinitesima dA e il vettore normale all'area. Consideriamo la portata infinitesima che attraversa la sezione

$$dQ_1 = \vec{v}_1 \cdot d\vec{A}_1$$

↓
Velocità puntuale

Considerando un'area dA diversa con vettore \vec{n} ortogonale. La velocità delle particelle è diversa, quelle più lontane dal centro hanno velocità ... minore

$$dQ_2 = \vec{v}_2 \cdot d\vec{A}_2$$

La portata totale è somma di questi contributi

$$Q = \int_A \vec{v} \cdot d\vec{A} \quad \text{PORTATA COMPRESSIVA}$$

$$V = \frac{Q}{A} \quad \text{VELOCITÀ MEDIA (puntuale è la velocità e diversa)}$$

COMPRESSIBILITÀ O MODULO DI ELASTICITÀ A COMPRESSIONE CUBICA

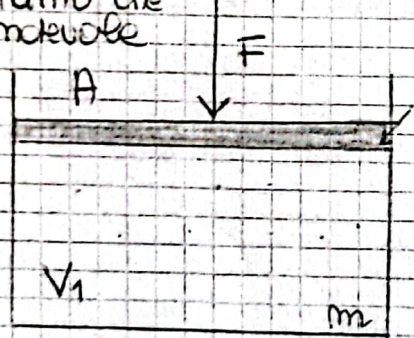
Misura l'attitudine dei fluidi a farsi comprimere e quindi deformare (sia liquidi che aeriformi)

I fluidi aeriformi sono più facilmente comprimibili di quelli liquidi

La comprimibilità ha le dimensioni di una pressione

$$\epsilon = N/m^2$$

Supponiamo che F sia notevole



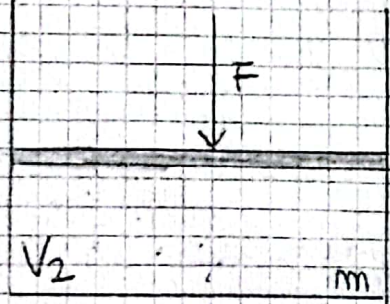
Per definire ϵ prendiamo un barattolo con acqua su quale vi è un pistone. La pressione sulla superficie è 1 atm. Se non vi è il pistone

Applicando la forza sul pistone mazzera una compressione che si distribuisce su tutti i punti della massa fluida.

$$\Delta p = \frac{F}{A}$$

Applicando la forza diminuisce il volume

Quindi la pressione sarà $P + \Delta P$ in ogni punto



Differenza di volume proporzionale al Δp e quindi alla forza applicata ed è inversamente proporzionale alla comprimibilità

$$\Delta V = V_2 - V_1 < 0$$

$$\Delta V = -V_1 \frac{\Delta p}{\epsilon}$$

Ricaviamo la comprimibilità

$$\epsilon = - \frac{\Delta p}{\Delta V/V_0}$$

volume iniziale \rightarrow può essere diverso quindi ricaviamo un'altra espressione funzione di m

la massa non subisce variazioni in seguito all'applicazione della forza.

$$m = \rho \cdot V$$

$$dm = d\rho \cdot V + dV \cdot \rho = 0 \rightarrow \frac{d\rho}{\rho} = - \frac{dV}{V} \rightarrow \text{Sostituendo}$$

$$\epsilon = \rho \frac{d\rho}{d\rho}$$

densità liquido

$$\epsilon = - \frac{d\rho}{-d\rho/\rho} = \rho \frac{d\rho}{d\rho}$$

$$\epsilon_{H_2O} = 2 \cdot 10^4 \text{ N/em}^2 \rightarrow \text{VALORE MOLTO GRANDE}$$

Ipotesi molto comune $\rho = \text{cost}$ cioè vuol dire che $d\rho = 0$, non ci sono variazioni di volume e quindi comprimibilità infinita e questo è coerente con la realtà perché il suo valore è molto grande

Nei casi del corpo di ariete non si può trascurare la variazione di volume di un fluido e quindi della comprimibilità per comprendere quando si può trascurare la comprimibilità bisogna introdurre la celerità

CELERITÀ

Rappresenta la velocità di propagazione di un'onda v in un fluido ^{sonora}

$$c = \sqrt{\frac{\epsilon}{\rho}} = 1400 \text{ m/s} \rightarrow \text{VALORE MOLTO GRANDE}$$

nei casi dell'acqua

In realtà questa velocità non riguarda solo le onde sonore ma anche le sismopressioni

$$\epsilon = c^2 \cdot \rho = \frac{d\rho}{d\rho} \cdot \rho$$

Secondo Pascal una variazione di sismopressione si propaga istantaneamente, ciò non è proprio vero poiché la celerità non è infinita bensì pari a 1400 m/s

Il fluido risulta incomprimibile se $d\rho = 0 \rightarrow$ cioè VALE IL PRINCIPIO DI PASCAL

$$\epsilon \rightarrow \infty$$

$$c \rightarrow \infty$$

Questo è vero se la massa d'acqua è piccola

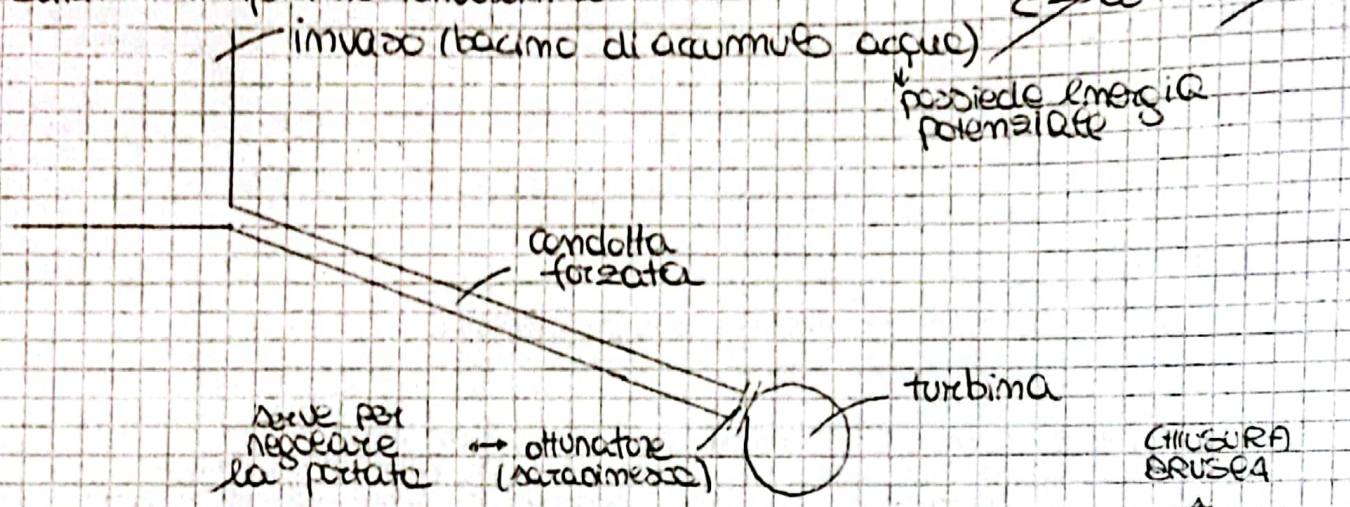
Ma se la massa d'acqua è grande dipende da come viene applicata la forza F , può essere istantanea o meno.

Se la forza è graduata, le sismopressioni si propagano con una velocità elevata e quindi vale l'ipotesi di fluido incomprimibile.

Nelle lunghe condotte non è corretta l'ipotesi di fluido incomprimibile.
 Nel caso di condotte lunghe circa 10 km o anche più, l'intervento
 di una saracinesca, ad esempio, provoca delle ondapressioni
 che impiegano un po' di tempo a propagarsi perché anche se
 vale 1000 m/s, ci sono punti abbastanza distanti e la
 nascita delle pressioni non è istantanea.

ESEMPIO

Schema impianto idroelettrico

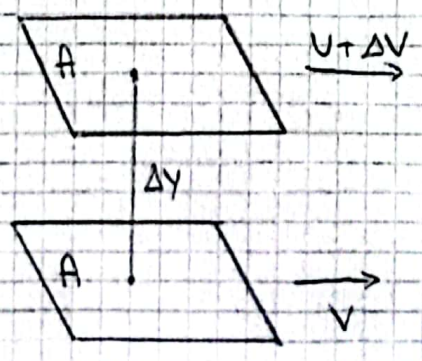


Può capitare che, in alcuni casi, bisogna chiudere la saracinesca.
 Nascerà una ondapressione, tutta l'energia cinetica si
 trasforma in una ondapressione che si propaga con una
 velocità di circa 1000 m/s.
 Se la condotta è lunga 100 m, la ondapressione arriverà
 all'imbocco dopo 1 s.
 Non è corretto sostenere che la densità sia costante.

VISCOSITÀ DINAMICA

È una caratteristica dei fluidi.
 Durante il moto di un fluido nascono forze tangenziali che sono
 proporzionali alla viscosità dinamica.

Moto semplice: laminare cioè le particelle si muovono in un'unica
 direzione e quindi il moto è piano. Le traiettorie sono paraboliche.



Le particelle in esame sono
 poste a distanza Δy e la
 velocità è diversa.
 $\Delta V \rightarrow$ differenza velocità
 delle laminae

Consideriamo un fluido reale,
 quindi nascono delle forze
 di trascinamento (o resistenti)
 che una lamina esercita
 sull'altra.

$$T = \mu A \frac{\Delta v}{\Delta y}$$

FORZA DI TRASCINAMENTO

Se il liquido è fermo e lo sforzo è ⁴ ~~muoversi~~

$$\frac{T}{A} = \gamma = \mu \frac{dv}{dy}$$

FORZA TANGENZIALE
(Legge di Newton)

→ lo sforzo tang. è proporzionale alla velocità e alla variazione di v lungo la normale alla superf.

$\mu = f(T)$ funzione temperatura, tanto più alta è la temperatura, quanto meno viscoso è il fluido

$$\nu = \frac{\mu}{\rho}$$

VISCOSITÀ CINEMATICA

$$\mu = \frac{\gamma}{dv} \cdot dy = \frac{N \cdot m}{m^2} \frac{m}{m}$$

S.I. $\mu = \frac{N \cdot s}{m^2}$

$$\mu = \frac{kg \cdot m}{s^2} \cdot \frac{s}{m^2} = \frac{kg}{m \cdot s} \rightarrow \text{effettiva unità di misura}$$

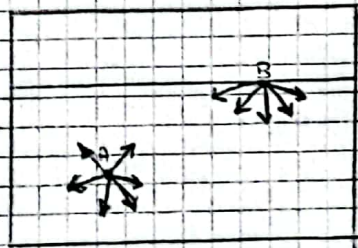
FORZA DI ADESIONE: forza tra particelle e pareti del recipiente

FORZA DI COESIONE: forza tra le particelle del liquido

TENSIONE SUPERFICIALE

Esprime le forze di coesione tra le molecole superficiali di un liquido

Consideriamo un serbatoio con una massa d'acqua



La particella A è in equilibrio poiché la risultante delle forze è nulla

La particella B non è in equilibrio e la risultante delle forze è diversa da zero.

Questo giustifica la forma delle gocce d'acqua

$$S = \frac{L}{\Delta A} \rightarrow \text{lavoro per aumentare l'area}$$

$$\Delta A \rightarrow \text{variazione di area}$$

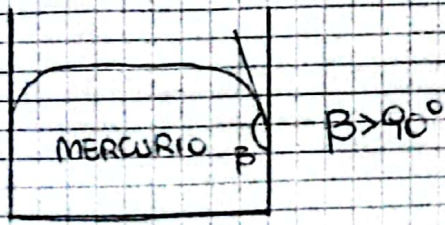
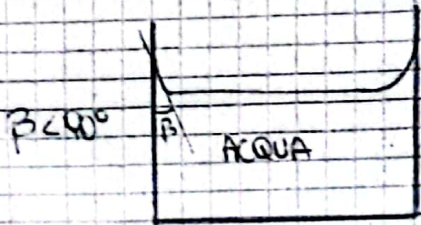
$$S_{H_2O} = 0,073 \text{ N/m}$$

$$S_{Hg} = 0,559 \text{ N/m}$$

Per deformare una superficie bisogna compiere un lavoro per aumentare la sua area

$$\frac{N \cdot m}{m^2}$$

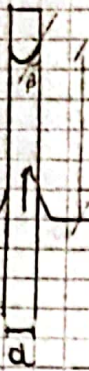
Nel caso dell'acqua prevalgono le forze di adesione su quelle di coesione, nel caso del mercurio vale il viceversa



CAPILLARITÀ

La capillarità rappresenta la risalita dell'acqua lungo tubicini che hanno un piccolo diametro.

Inserendo il tubicino si formano dei menischi.



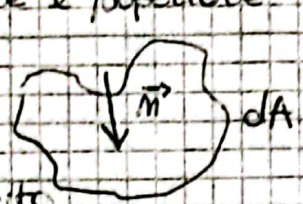
$h \rightarrow$ altezza risalita dell'acqua

$$h = \frac{4 \cdot \overset{\text{tensione}}{\underset{\text{superficiale}}{\sigma}} \cos \beta}{\gamma d}$$

PRESSIONE

Grandezza più importante dell'idraulica. La pressione è legata allo sforzo.
 Per capire cosa sia lo sforzo consideriamo una massa d'acqua e isoliamo una superficie infinitesima di area dA . L'acqua è a contatto con la superficie inferiore e superiore.

Consideriamo la faccia superiore e il vettore \vec{m} ortogonale alla superficie (i liquidi non sopportano sforzi di trazione).



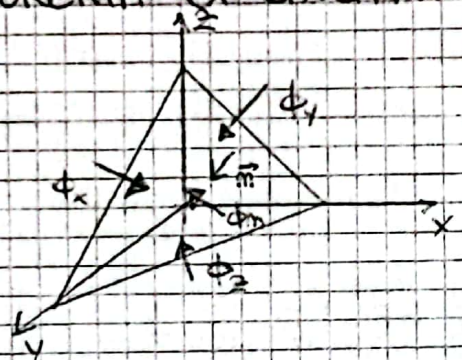
Tutta la massa d'acqua che sta a contatto con la superficie esercita su di essa una forza $d\vec{F}$.

Lo sforzo è un vettore orientato come $d\vec{F}$.

$$\vec{\phi} = \frac{d\vec{F}}{dA}$$

Lo sforzo è legato alla normale alla superficie mediante un teorema.

TEOREMA DI CAUCHY O DEGLI SFORZI



Consideriamo un sistema di assi cartesiani xyz e un tetraedro con una faccia che interseca i tre assi. Il vertice è circondato da acqua che esercita degli sforzi sulle facce. Il vettore \vec{m} è ortogonale alla faccia che interseca i tre assi.

Diammo alla figura gli sforzi esercitati su ogni faccia.

Tuttavia non agiscono soltanto le forze di superficie ma anche di massa infatti per il II principio della dinamica:

$$d\vec{F} = d\vec{F}_s + d\vec{F}_m = \vec{A} dm$$

\downarrow forze di superficie \downarrow forze di massa (proporzionali alla massa)

Introduciamo un'ipotesi: le forze di massa sono trascurabili in quanto proporzionali alla massa e quindi al volume $dx dy dz \rightarrow$ infinitesimi del terzo ordine. Quelle di superficie invece sono infinitesimi del secondo ordine.

$$d\vec{F} = d\vec{F}_s + d\vec{F}_m = \vec{A} dm \rightarrow \sum d\vec{F}_s = 0$$

Espectiamo la somma delle forze di superficie:

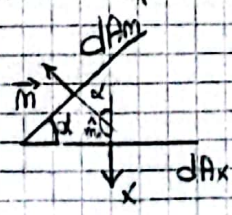
$$\vec{\phi}_x dA_x + \vec{\phi}_y dA_y + \vec{\phi}_z dA_z + \vec{\phi}_n dA_n = 0$$

$$dA_x = dA_n \cos \alpha$$

\downarrow angolo formato dalla faccia dA_x e dA_n

$$dA_y = dA_n \cos \beta$$

$$dA_z = dA_n \cos \gamma$$



$$180^\circ = \alpha + \hat{m}_x \rightarrow \alpha = 180 - \hat{m}_x$$

$$\cos \alpha = \cos(180 - \hat{m}_x) = -\cos \hat{m}_x$$

$$\cos \alpha = -\cos \hat{m}_x$$

$$\vec{\Phi}_n dA/n - \vec{\Phi}_x dA/n \omega \hat{m}_x - \vec{\Phi}_y dA/n \omega \hat{m}_y - \vec{\Phi}_z dA/n \omega \hat{m}_z = \vec{0}$$

$$\vec{\Phi}_n = \vec{\Phi}_x \omega \hat{m}_x + \vec{\Phi}_y \omega \hat{m}_y + \vec{\Phi}_z \omega \hat{m}_z$$

PRIMA FORMULAZIONE
DEL TEOREMA:

Lo sforzo Φ_n è combinazione lineare degli sforzi che agiscono sulle facce ortogonali.

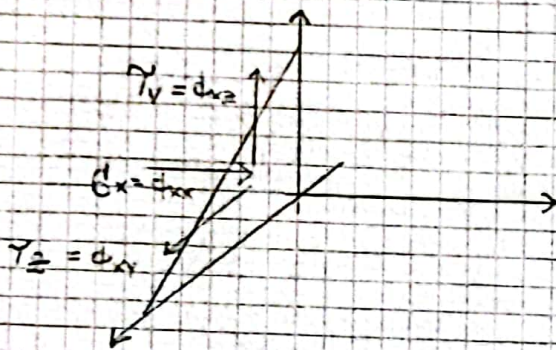
Proiettiamo la relazione lungo i tre assi (x, y, z)

$$\Phi_{nx} = \Phi_{xx} \omega m_x + \Phi_{yx} \omega m_y + \Phi_{zx} \omega m_z$$

$$\Phi_{ny} = \Phi_{xy} \omega m_x + \Phi_{yy} \omega m_y + \Phi_{zy} \omega m_z$$

$$\Phi_{nz} = \Phi_{xz} \omega m_x + \Phi_{yz} \omega m_y + \Phi_{zz} \omega m_z$$

Le componenti con indici uguali sono ortogonali alla superficie e li indichiamo con σ , gli altri sono sforzi tangenziali e li indichiamo con τ



Valgono le relazioni di simmetria per gli sforzi tangenziali:

$$\Phi_{xy} = \Phi_{yx}$$

$$\Phi_{xz} = \Phi_{zx}$$

$$\Phi_{yz} = \Phi_{zy}$$

La matrice con 9 elementi si riduce a 6 elementi.

Gli sforzi tangenziali sono proporzionali alla viscosità dinamica e alla variazione di velocità.

$$\tau = \mu \frac{dv}{dx}$$

Se il fluido è in quiete $dv=0$ e quindi $\tau=0$ (sforzi tangenziali nulli)

$$\Phi_{nx} = \Phi_{xx} \omega \hat{m}_x$$

$$\Phi_{ny} = \Phi_{yy} \omega \hat{m}_y$$

$$\Phi_{nz} = \Phi_{zz} \omega \hat{m}_z$$

Ma il vettore Φ_n si può scomporre lungo le sue componenti

$$\Phi_{nx} = \Phi_n \omega \hat{m}_x$$

$$\Phi_{ny} = \Phi_n \omega \hat{m}_y$$

$$\Phi_{nz} = \Phi_n \omega \hat{m}_z$$

$$\begin{aligned}\phi_m \omega \hat{m}_x &= \phi_{xx} \omega \hat{m}_x \\ \phi_m \omega \hat{m}_y &= \phi_{yy} \omega \hat{m}_y \\ \phi_m \omega \hat{m}_z &= \phi_{zz} \omega \hat{m}_z\end{aligned}$$

Perciò in idrostatica lo sforzo non dipende dalla gravità

$$\phi_m = \phi_{xx} = \phi_{yy} = \phi_{zz} = p$$

La pressione coincide con il modulo dello sforzo.

$$\vec{\phi} = p \cdot \vec{n}$$

ha un punto di applicazione,
un verso ed una direzione

CONSEGUENZA DEL TH. DI CAUCHY
lo sforzo ha sempre la direzione
di \vec{n} cioè ortogonale alla superficie
e l'intensità dello sforzo è la
pressione

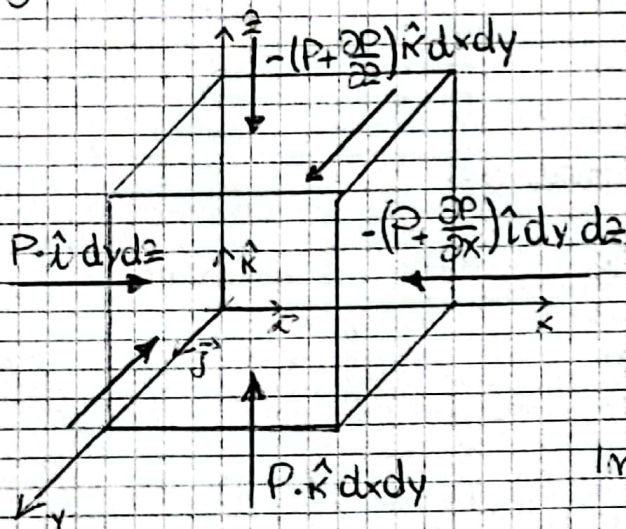
Unità di misura della pressione $p = \frac{N}{m^2}$

La forza si ottiene moltiplicando lo sforzo per una superficie

L'EQUAZIONE INDEFINITA DELLA STATICA

ci permette di calcolare la pressione in tutti i punti di una massa.

Consideriamo un cubo infinitesimo con 6 facce e i versori ortogonali alle facce



il cubo ha un volume
infinitesimo e una massa
infinitesima
 $dV = dx dy dz$
 $dm = \rho dx dy dz$

Vale la seconda legge della
dinamica e quindi per
il teorema di Cauchy gli
sforzi esercitati dalle acque
sono ortogonali alle
facce

In idrostatica vale la relazione

$$d\vec{F} = \vec{0}$$

$$d\vec{F}_S + d\vec{F}_m = \vec{0}$$

$d\vec{F}_m$ non si
trascurano
in questo caso

La forza che agisce sulla faccia yz è $p \cdot i \cdot dy dz$

La forza di massa per unità di massa è:

$$\vec{R} = -g \hat{n}_z \quad (\text{ha le dimensioni di un'accelerazione})$$

$$d\vec{F}_m = \rho dx dy dz \vec{R}$$

Si ottiene:

→

$$\vec{P} \vec{i} dy dz - (P + \frac{\partial P}{\partial x} dx) \vec{i} dy dz + P \vec{j} dx dz - (P + \frac{\partial P}{\partial y} dy) \vec{j} dx dz +$$

$$+ P \vec{k} dx dy - (P + \frac{\partial P}{\partial z} dz) \vec{k} dx dy + \rho \vec{R} dx dy dz = \vec{0}$$

$$\rho \vec{R} dx dy dz = - (\frac{\partial P}{\partial x} \vec{i} + \frac{\partial P}{\partial y} \vec{j} + \frac{\partial P}{\partial z} \vec{k}) dx dy dz = \vec{0}$$

$$\rho \vec{R} = \text{grad } P$$

EQUAZIONE INDEFINITA DELLA STATICA DEI FLUIDI

(indefinita perché vale per un volume infinitesimo $dx dy dz$)

Esprimiamo \vec{R}

$$-\rho g \text{grad } z = \text{grad } P$$

$$-\gamma \text{grad } z = \text{grad } P$$

Nelle ipotesi di $\rho = \text{cost}$ vale $\gamma = \text{cost}$:

$$-\text{grad}(\gamma z) = \text{grad } P$$

$$\text{grad}(P + \gamma z) = 0$$

$$\text{grad}(z + \frac{P}{\gamma}) = 0$$

Integriamo primo e secondo membro

$$z + \frac{P}{\gamma} = \text{cost.}$$

altezza
geodetica:

altezza
piezometrica

carico
piezometrico

LEGE DI STEVINO

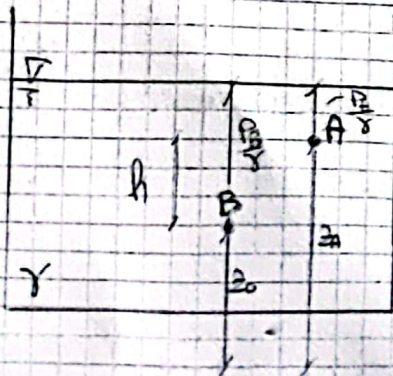
permette di calcolare la pressione in qualsiasi punto del fluido noto che sia la pressione in un punto

Enunciato teorema:

"Una massa fluida in quiete ha un carico piezometrico costante in tutti i punti"

Supponiamo di avere un serbatoio con acqua a superficie libera

e sfruttiamo la legge per calcolare le pressioni. Razionaliamo un sistema di riferimento arbitrario per valutare le quote



$$z_A + \frac{P}{\gamma} = z_B + \frac{P_B}{\gamma} = \text{cost} \rightarrow \text{costante per qualsiasi punto}$$

Immaginiamo di voler calcolare la nota che sia P_B

$$\frac{P_A}{\gamma} = \frac{P_B}{\gamma} + (z_B - z_A)$$

$$P_A = P_B + \gamma(z_B - z_A)$$

$$P_A = P_B = \gamma h$$

$$z_B < z_A$$

$$\text{con } h = z_A - z_B$$

Analogamente si può determinare P_B nota che sia P_A

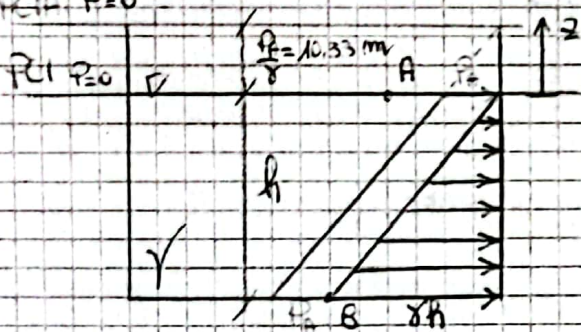
$$P_B = P_A + \gamma h$$

Stendendo la pressione aumenta e quindi il contributo γh va sommato.

Consideriamo lo stesso serbatoio, ma il sistema di riferimento è sulla superficie libera

$$P_{\text{atm}} = P = 0$$

$$P_{\text{atm}} = P = 0$$



$$z + \frac{P}{\gamma} = \text{cost.}$$

LEGGE DI STEVINO

$$z_A + \frac{P_A}{\gamma} = z_B + \frac{P_B}{\gamma}$$

perché non c'è acqua al di sopra

$$z_B = \frac{P_B}{\gamma} = h \rightarrow P_B = \gamma h \quad \text{affondamento netto}$$

la pressione si può calcolare in qualsiasi punto, nota che sia il PIANO DEI CARICHI IDROSTATICI cioè il piano con pressioni nulle.

Al di sopra del PCI la pressione è negativa, al di sotto è positiva.

La pressione varia linearmente con la profondità quindi nota la pressione in due punti si traccia l'andamento. Questo rappresenta il solo contributo dovuto all'acqua.

Ma la pressione dovuta all'aria non è trascurabile.

$$1 \text{ m}^3 \text{ di aria pesa } 1,2 \text{ kg} \quad \text{perché } \rho_a = 1,2250 \text{ N/m}^3$$

Quindi alla pressione dell'acqua si somma quella dell'aria (in assoluto)

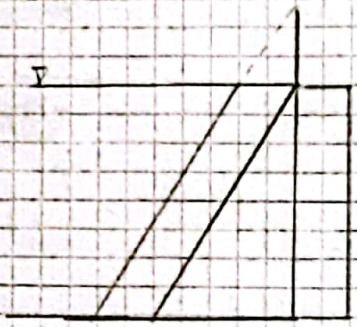
Bisogna tenere conto del PIANO DEI CARICHI IDROSTATICI ASSOLUTO che si trova al di sopra di quello relativo

$$P^* = P_a + P$$

pressione assoluta

Tuttavia si tiene conto della pressione relativa, cioè quella relativa alla presenza del fluido perché quella dell'aria si elide.

Volendo calcolare le sollecitazioni sulla parete, il contributo dovuto all'aria è uguale e opposto perciò si elide.



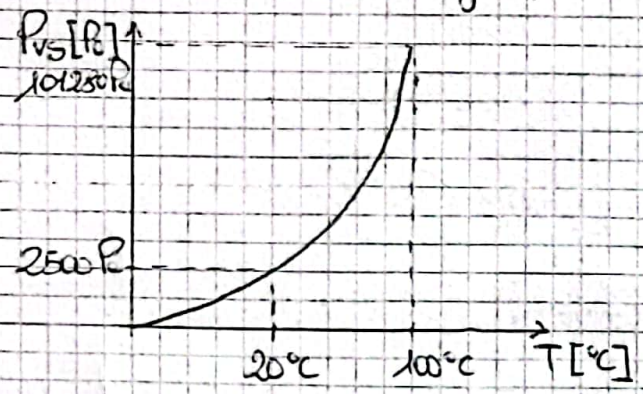
La pressione assoluta P^* è sempre maggiore ^{o uguale a} zero. Questa relativa può essere negativa ma non inferiore a $-P_a$.

Introduciamo la $P_{vs}(T)$ cioè la **PRESSIONE DI VAPORE SATURO** che è funzione della temperatura.

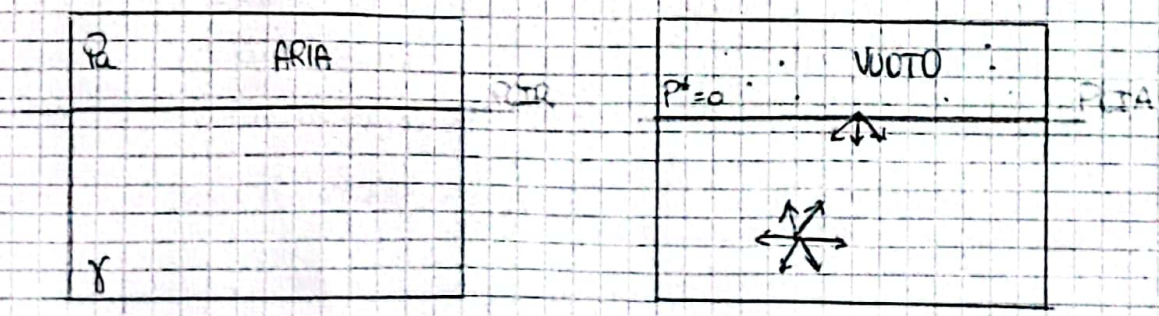
È una caratteristica dei liquidi. Si può calcolare con la seguente formula:

$$P_{vs}(T) = 611 \exp\left(\frac{17,27T}{237,3 + T}\right) \quad T [^{\circ}\text{C}]$$

Oppure si può utilizzare un grafico che lega P_{vs} e T .



Per capire cosa sia la $P_{vs}(T)$ consideriamo un serbatoio e immaginiamo di creare il vuoto mediante una pompa. La pressione ass. passa ad un valore pari a zero.



Le particelle hanno una certa energia dovuta all'agitazione molecolare. Queste sulla superficie possono avere una piccola energia e scappano passando a vapore. La pressione aumenta man mano che le particelle passano allo stato di vapore.

Ci sarà un momento in cui il numero di particelle che passano dallo stato liquido a vapore sarà uguale a quelle che dal vapore passano al liquido. In questo caso si raggiunge la **PRESSIONE DI VAPORE SATURO**

P_{vs} → situazione in cui liquido e vapore sono in equilibrio

Ma perché le pressioni assolute non possono essere minori di zero?

Supponiamo che nel serbatoio $P_{vs} = 2500 \text{ Pa}$, togliendo l'aria nel serbatoio la pressione assoluta diminuisce.

Mettendo una pentola sul fornello, aumenta la P_{vs} . L'acqua inizia a bollire quando:

$$P_{vs}(T) = P_{\text{ambiente}} \text{ (o atmosferica)}$$

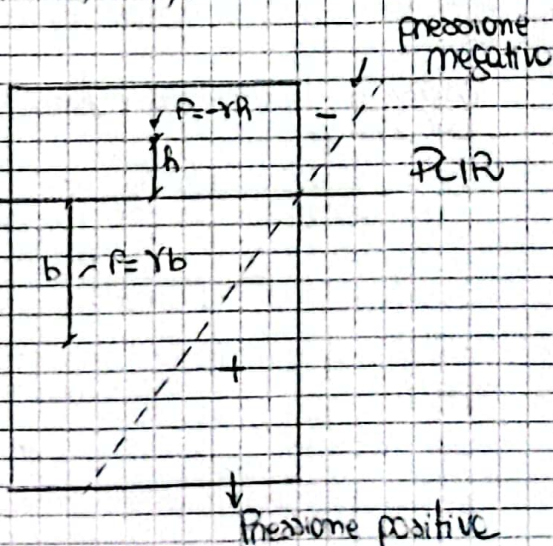
[In montagna l'acqua bolle ad una temperatura più piccola perché diminuisce la pressione atmosferica]

La grande massa di vapore si ha quando il liquido inizia a bollire. togliendo l'aria, la pressione ambiente diventa uguale a 2500 Pa cioè $P_{vs}(20^\circ\text{C}) = 2500 \text{ Pa}$ se il liquido si trova a 20°C .

LE PIANO DEI CARICHI IDROSTATICI ASSOLUTO si trova ad una distanza pari a P_{vs}/ρ dal pelo libero.

La pressione relativa non raggiungerà mai il valore $-P_a$ perché bisogna tenere conto della $P_{vs}(T)$.

Consideriamo un serbatoio con PIR moto



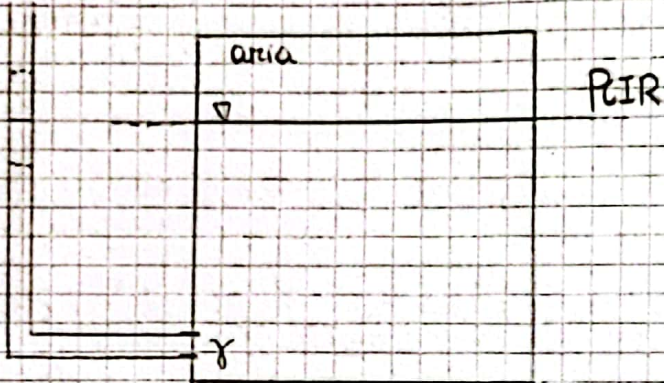
Nel caso di serbatoi a superficie libera il PIR è moto altrimenti, nel caso di serbatoi chiusi servono degli strumenti che misurano la pressione.

STRUMENTI DI MISURA

$$1 \text{ bar} = 100.000 \text{ N/m}^2$$

$$760 \text{ mmHg} = 1 \text{ atm} = 101.325 \text{ Pa}$$

Supponiamo di avere un serbatoio chiuso per determinare la pressione in tutti i punti bisogna determinare la posizione del PCIR ma se il serbatoio è chiuso non è facile



Il PCIR si può determinare con un piezometro.

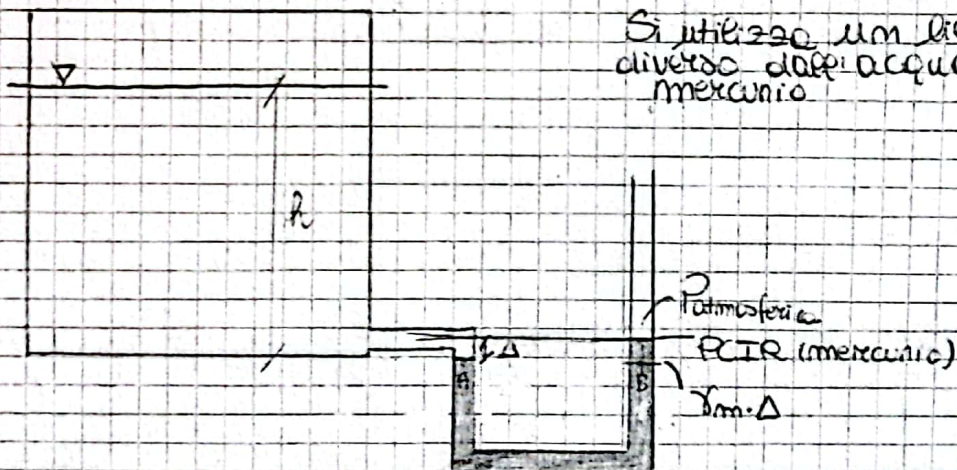
Il livello d'acqua nel serbatoio sarà uguale a quello del piezometro.

Se l'aria presente nel serbatoio è in pressione o depressione il PCIR non coincide con la superficie libera.

Se il serbatoio è grande non è conveniente utilizzare il piezometro ma altri strumenti.

MANOMETRO SEMPLICE

Si utilizza un liquido diverso dall'acqua es. mercurio.



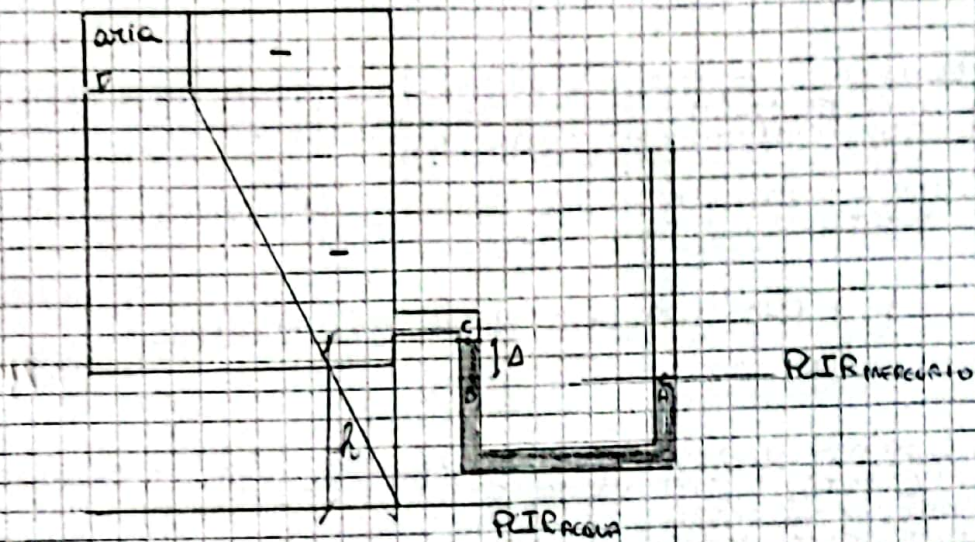
Per elevare i punti alla stessa quota hanno la stessa pressione

$$P_A = P_B \quad P_A = \gamma_m \cdot \Delta = \gamma \cdot h$$

↓
affondamento del punto rispetto al PCIR

$$\gamma = \frac{\gamma_m \cdot \Delta}{h}$$

Supponiamo che l'aria al di sopra del fluido sia in
 (PE) pressione



$$P_A = 0$$

$$P_B = 0 \text{ (Per Stevino)}$$

$$P_C = -\gamma \Delta \text{ (perché si trova al di sopra del PIR mercurio)}$$

$$P_C = -\gamma \cdot h$$

$$-\gamma h = -\gamma_m \Delta \quad h = -\frac{\gamma_m \Delta}{\gamma}$$

Il manometro semplice può andar bene in laboratorio ma non è molto comodo per altre usanze.

MANOMETRO SEMPLICE



$$1 \text{ barcc} = 100.000 \text{ N/m}^2$$

$$1 \text{ PSI} = 0,689 \text{ N/m}^2$$

Misura le pressioni relative del punto dove è collegato il manometro.

Le pressioni si possono misurare anche in metri di colonna d'acqua cioè altezza piezometrica.

$$\frac{P}{\gamma} \quad 10 \text{ m} \approx 1 \text{ atm}$$

La pressione sanguigna si misura in mmHg = torr cioè millimetri di colonna di mercurio.

TRASDUTTORE DI PRESSIONE o misuratore di livello

Sono strumenti elettronici che restituiscono un segnale in corrente. Vi è una membrana che si deforma con la pressione e alla deformazione segue un segnale elettrico che viaggia sui fili a 24V. Il segnale viene acquisito da una stazione di acquisizione.

Ogni strumento ha un fondo scala cioè valore minimo e massimo di pressione che può acquisire.

Lo strumento restituisce una corrente, a partire da questa si determina la pressione e quindi si può determinare l'altezza piezometrica rapportando la pressione al gamma del liquido

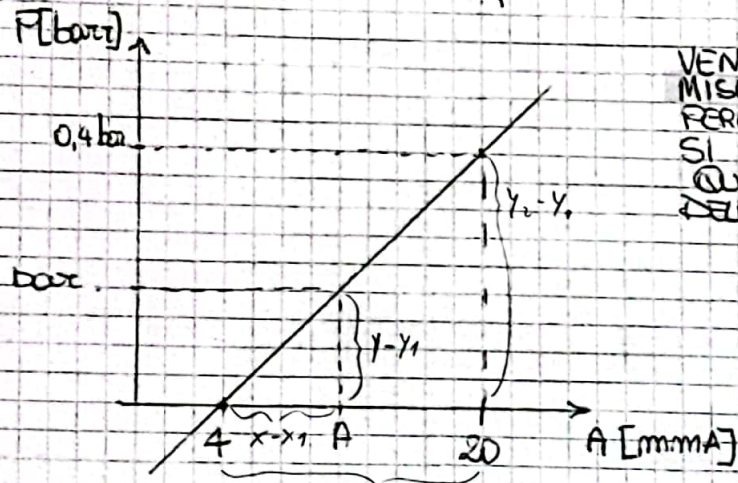
Esistono trasduttori ANALOGICI e DIGITALI. I primi misurano la pressione ma restituiscono una misura di corrente o di tensione che viene successivamente convertita.

Ogni strumento ha un valore min. di pressione ed il fondo scala ovvero il valore max.

0 barc 0,4 barc (cioè 4 m di colonna d'acqua)
 ↓ ↓
 valore min. valore max

Lavoro 3
 2021/02/26

Questi strumenti possono essere chiamati anche 4-20 mA perché a 0 barc corrispondono 4 mA (cioè in aria) e a 0,4 barc la corrente è 20 mA. Tutti gli altri valori sono compresi in questo range. Vi è una RELAZIONE LINEARE tra pressione e corrente.



VENGONO CHIAMATI MISURATORI DI LIVELLO PERCHÉ NOTO LA PRESSIONE SI PUÒ RICALCARE LA QUOTA DI AFFONDAMENTO DELLO STRUMENTO

Nota l'equazione della retta e' possibile calcolare la pressione nota la corrente

$$\frac{y_2 - y_1}{x_2 - x_1} = \frac{y - y_1}{x - x_1} \quad \text{similitudine tra due triangoli}$$

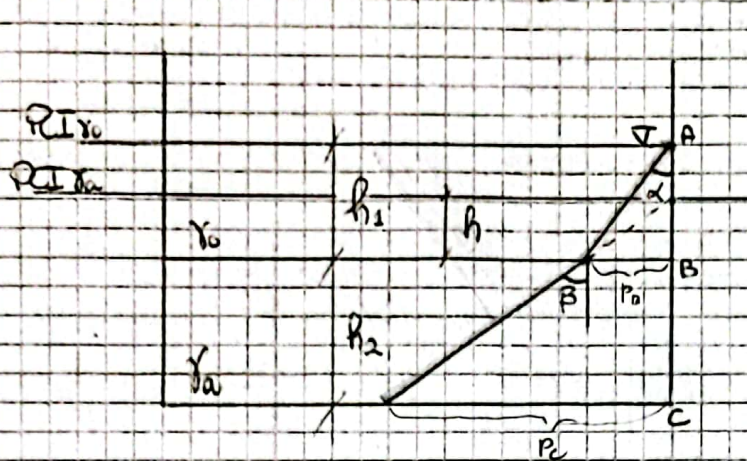
$$\frac{0,4 - 0}{20 - 4} = \frac{\text{barc} - 0}{A - 4} \rightarrow \frac{0,4}{16} = \frac{\text{barc}}{A - 4} \rightarrow \text{barc} = 0,025(A - 4)$$

$$\boxed{\text{barc} = 0,025A - 0,1}$$

APPLICAZIONE LEGGE DI STEVINO

Supponiamo di avere un serbatoio a superficie libera

≈ 10:00



$$\gamma_a > \gamma_0$$

$$P_A = 0$$

$$P_B = 0 + \gamma_0 + h$$

$$P_C = P_B + \gamma_a h_2$$

All'interno del serbatoio vi sono due liquidi, ad esempio acqua e olio. Applicando la legge di Stevino vogliamo tracciare il PCI e calcolare le pressioni in A-B-C.

Il PCI del liquido che sta in alto coincide con la superficie libera quindi:

$$P_A = 0$$

La pressione nel punto B è uguale a

$$P_B = P_A + \gamma_0 h_1 = \gamma_0 h_1$$

Analogamente:

$$P_C = P_B + \gamma_a h_2 = \gamma_0 h_1 + \gamma_a h_2$$

Possiamo tracciare il diagramma degli sforzi che per il teorema di Cauchy sono ortogonali alla superficie

$\alpha < \beta$ in quanto $\gamma_0 < \gamma_a$

Nota la pressione in B possiamo calcolare il PCI di γ_a

$$P_B = \gamma_a \cdot h$$

↳ affondamento di B rispetto al PCI γ_a

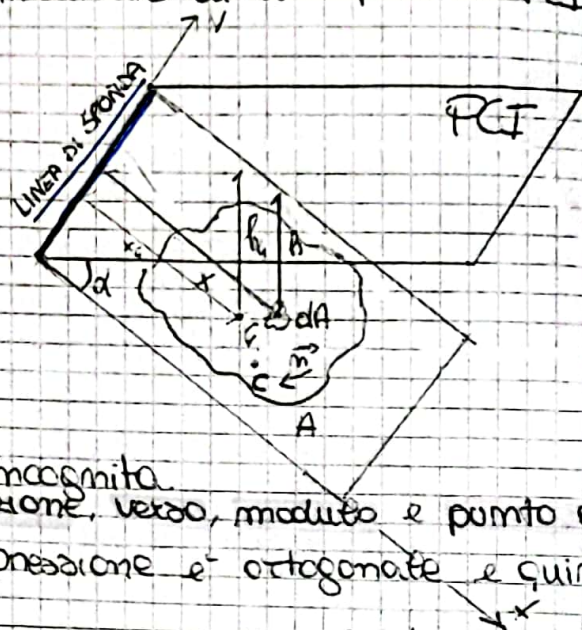
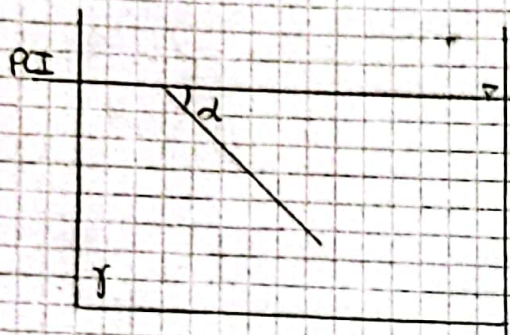
$$\gamma_0 h_1 = \gamma_a h$$

$$h = \frac{\gamma_0}{\gamma_a} h_1 \quad \text{perché } \frac{\gamma_0}{\gamma_a} < 1 \quad h < h_1$$

Il diagramma delle pressioni è importante per calcolare la spinta che il liquido esercita sulla parete in quanto è sufficiente valutare il volume del diagramma.

SPINTA SU SUPERFICIE PIANE (16:49)

Consideriamo un recipiente ad una superficie inclinata, all'interno di esso che appartiene ad un piano inclinato di α rispetto al PCI moto.



La spinta sulla superficie è l'incognita. Quindi bisogna individuare direzione, verso, modulo e punto di applicazione. Per le tr. di Cauchy lo sforzo di pressione è ortogonale e quindi anche la spinta.

Per le calcoli del modulo facciamo una superficie infinitesima dA che si può approssimare con un punto affondato di h rispetto al PCI.

La linea di sponda è l'intersezione del piano dei caestichi idrostatici e del piano che contiene la superficie di normale \vec{n} .

$$h = x \cdot \sin \alpha$$

Sulla superficie il liquido esercita una spinta

$$d\vec{S} = P \cdot dA \cdot \vec{n} \quad \text{con } P = \gamma \cdot h$$

Scegliamo un'area diversa la spinta sarà diversa poiché dipende dall'affondamento. Volendo calcolare la spinta totale si riesce ad integrare.

$$\vec{S} = \int_A d\vec{S} = \int_A P \vec{n} dA = \int_A \gamma \cdot h \vec{n} dA = \int_A \gamma x \sin \alpha \vec{n} dA$$

Per definizione $\int_A x \cdot dA = \text{MOMENTO STATICO DELLA SUPERFICIE RISPETTO ALLA LINEA DI SPONDA}$

$$\int_A x dA = X_G \cdot A$$

posizione baricentro della superficie

$$\vec{S} = \gamma X_G \cdot A \cdot \sin \alpha \cdot \vec{n} = \gamma h_G \cdot A \cdot \vec{n}$$

P_G
pressione baricentrica

$$\vec{S} = P_G \cdot A \cdot \vec{n}$$

La spinta è un vettore di modulo $S = \rho \cdot A$, direzione come m , se il segno è positivo allora è verso e concorde col m altrimenti è opposto.

Bisogna calcolare anche il punto di applicazione o CENTRO DI SPINTA di coordinate x_c, y_c

Per calcolare le coordinate si sfrutta la definizione di momento. Consideriamo la ^{DELLA} metazone statica.

$$S \cdot x_c = \int_A ds \cdot x$$

IL MOMENTO RISULTANTE È UGUALE ALLA SOMMA DEI MOMENTI DELLE SUE SINGOLE ELEMENTARI

$$S \cdot x_c = \int_A ds \cdot x = \int_A \rho \cdot x \cdot dA = \int_A \gamma h \cdot x \cdot dA = \int_A \gamma x \cdot \sin \alpha \cdot x \cdot dA = \\ = \int_A \gamma \sin \alpha \cdot x^2 \cdot dA = \gamma \sin \alpha \int_A x^2 \cdot dA$$

Ricordiamo che $\int_A x^2 \cdot dA$ è il momento d'inerzia della sezione rispetto all'asse y

$$S \cdot x_c = \gamma \sin \alpha \cdot I \quad \text{con} \quad S = \gamma h_g \cdot A = \gamma x_g \cdot \sin \alpha \cdot A$$

$$\gamma x_g \sin \alpha \cdot A \cdot x_c = \gamma \sin \alpha \cdot I$$

$$x_c = \frac{I}{x_g A} = \frac{I}{M}$$

↳ momento statico sezione

Per ricavare l'altra coordinata si ragiona allo stesso modo

$$S \cdot y_c = \int_A ds \cdot y = \int_A \gamma x \sin \alpha \cdot y \cdot dA = \gamma \sin \alpha \int_A xy \cdot dA$$

Ricordiamo che $\int_A xy \cdot dA$ è il momento centrifugo

$$y_c = \frac{I_{xy}}{M}$$

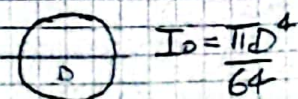
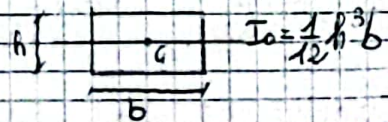
Se la superficie ha un'asse di simmetria $I_{xy} = 0$ quindi $y_c = 0$ e per individuare la posizione del centro di spinta bisogna calcolare esclusivamente x_c

→ il centro di spinta non dipende dall'inclinazione della superficie e che è più lontano del baricentro rispetto alla linea di sponda

Il momento d'inerzia si può calcolare sfruttando il teorema di Steiner

$$I = I_0 + A x_g^2$$

↳ momento d'inerzia di un'asse passante per il baricentro e parallelo all'asse linea di sponda → tabellato

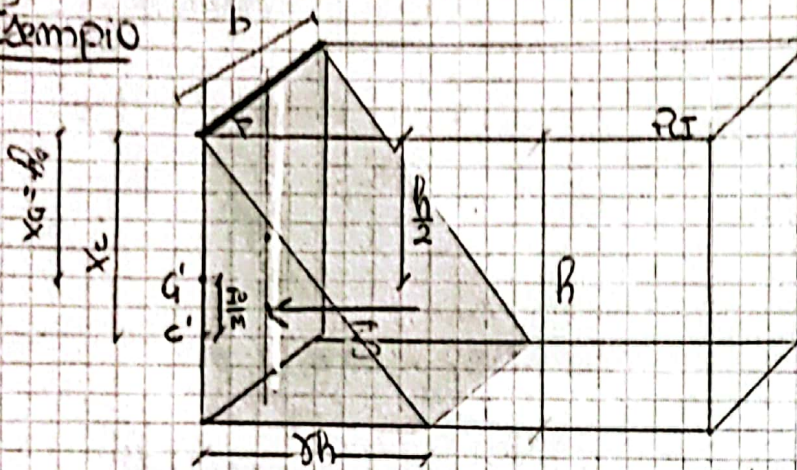


$$X_c = \frac{I}{M} = \frac{I_0}{M} + \frac{Ax_c^2}{M} = \frac{I_0}{Ax_c} + \frac{Ax_c^2}{Ax_c}$$

$$X_c = \frac{I_0}{M} + X_c$$

[38:00]

Esempio



Consideriamo un serbatoio a pelo libero e calcoliamo la spinta sulla parete verticale (se non fosse stato a pelo libero, con uno strumento di misura opportuno determino la pressione in un punto e poi in questo di interesse)

$$S = \gamma \cdot \frac{h}{2} \cdot h \cdot b$$

$$X_c = \frac{I_0}{M} + X_c$$

← eccentricità

se la superficie è verticale $X_c = h$ altrimenti se è inclinata:

$$X_c = \frac{h}{\sin \alpha}$$

Nel caso in esame:

$$X_c = \frac{h}{2} + \frac{\frac{1}{2} h^2 b}{\frac{1}{2} h b} = \frac{h}{2} + \frac{h}{6} = \frac{2}{3} h$$

Quindi:

$$S = \frac{1}{2} \gamma h^2 b \quad X_c = \frac{2}{3} h$$

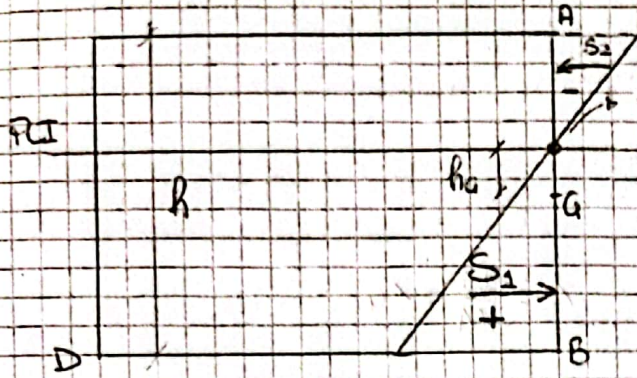
La spinta si può calcolare geometricamente dal diagramma delle pressioni e in particolare dal volume

$$S = \left(\frac{\gamma h h}{2} \right) \cdot b$$

AREA TRIANGOLO ← SPESORE

Quindi entrambi i metodi danno lo stesso risultato ma nel caso di una superficie parabolizzata non si può applicare il primo metodo

Esempio



Consideriamo un serbatoio chiuso con PFI moto

linea di sponda rappresentata da un punto

Nota il baricentro della parete, si valuta h_g e si calcola la spinta

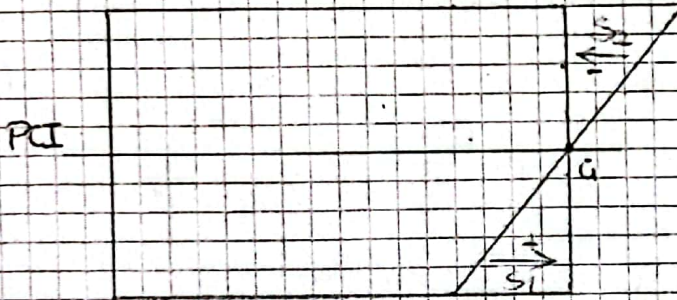
$$S = \gamma h_g \cdot A$$

Inacciamo il diagramma delle pressioni

$$x_c = \frac{I_0}{M} + x_g \quad \text{con } x_g = h_g$$

$$S = S_1 = S_2 \quad \text{risultante delle spinte} \quad S = \gamma h_g \cdot A$$

Supponiamo che le PFI passi per il baricentro



In questo caso, applicando la formula la spinta dovrebbe essere nulla

$$h_g = 0 \quad S = \gamma h_g \cdot A = 0$$

La spinta totale è nulla
 in altre parole che $S_1 = S_2$

$$x_c = \frac{I_0}{M} + x_g$$

$$M = x_g \cdot A \quad \rightarrow \text{in questo caso } M=0 \text{ quindi } x_c \rightarrow \infty$$

↓
 distanza baricentro linea di sponda

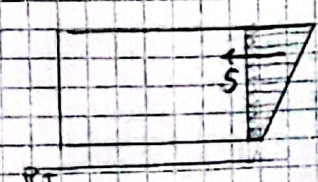
Per calcolare la spinta sul fondo è ancora più semplice perché la pressione è uguale su tutti i punti ed il diagramma è rettangolare

$$S = \gamma \cdot h_g \cdot A$$

Nel caso di superfici orizzontali $x_c = x_g$

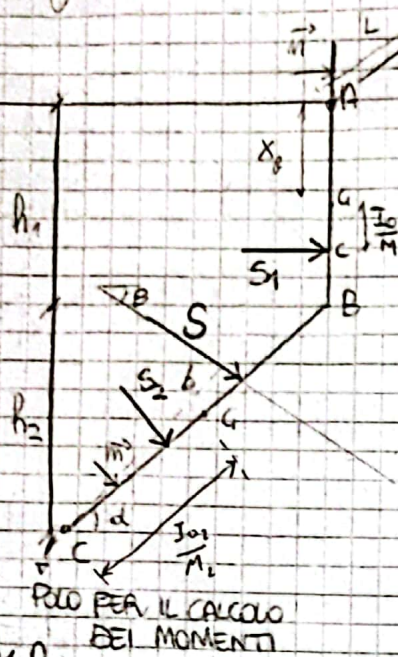
Se $P_2 > 0 \rightarrow x_c > x_g$ e anche $S > 0$

Se $P_2 < 0$ (PFI al di sotto di G) $\rightarrow x_c < x_g$ e S anna verso opposto a m°



Fine lezione 3

0.2. studiamo un portatore con una parete ABC. Caratterizziamo la spinta che il liquido esercita sulla parete nota che sia la geometria



$S = \gamma h_1 A \cdot \vec{n}$ vettore ortogonale alla superficie
 la spinta sarà applicata nel centro di spinta

$$x_c = \frac{I_0}{M} + x_G$$

I_0 MOMENTO D'INERZIA
 M MOMENTO STATICO
 $M = x_G \cdot A$

$$S_1 = \frac{\gamma h_1 A_1}{2}$$

$$S_2 = \gamma \left(h_1 + \frac{h_2}{2} \right) \frac{h_2 L}{\sin \alpha}$$

$$I_{01} = \frac{1}{12} h_1^3 L$$

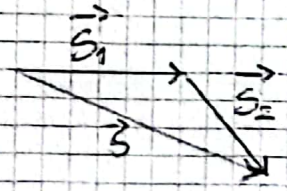
$$M_1 = x_{G1} \cdot A_1 = h_{G1} \cdot A = \frac{h_1}{2} \cdot h_1 L \quad x_{G1} = h_{G1} \text{ per la parete verticale}$$

La linea di spinta si ottiene prolungando il lato BC che deve intersecare il piano dei carichi idrostatici

$$I_{02} = \frac{1}{12} \left(\frac{h_2}{\sin \alpha} \right)^3 L$$

$$M_2 = x_{G2} \cdot A = \frac{h_{G2}}{\sin \alpha} \cdot A = \left(\frac{h_1}{\sin \alpha} + \frac{h_2}{2 \sin \alpha} \right) \cdot \frac{h_2 L}{\sin \alpha}$$

Lo scopo è quello di calcolare la spinta risultante



$$\vec{S} = \vec{S}_1 + \vec{S}_2$$

$$S_x = S_{1x} + S_{2x}$$

$$S_y = S_{1y} + S_{2y} = -S_{2y}$$

$$S = \sqrt{S_x^2 + S_y^2}$$

$$\tan \beta = \frac{S_y}{S_x} \text{ inclinazione spinta}$$

Si sommano le componenti rispetto ad un sistema di riferimento



possiamo calcolare il punto di applicazione delle spinte compressive

$$S \cdot b = S_1 \cdot b_1 = S_2 \cdot b_2$$

momento spinte compressive

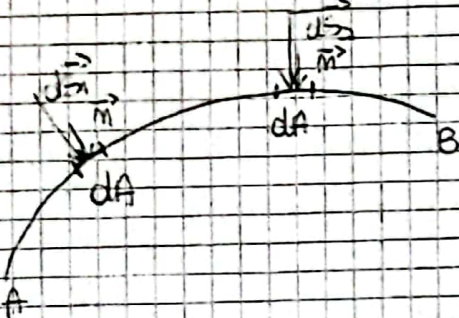
Si sceglie un polo e si calcolano i momenti delle forze

[17:03]

SPINTE SU SUPERFICIE CURVE -

METODO DELLE COMPONENTI

Consideriamo una generica superficie curva



Nota: le PCI ai punti determinate da pressione su area infinitesimale dA e quindi anche la spinta

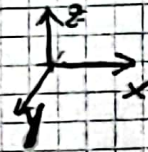
Volendo calcolare la spinta su AB non è corretto fare l'integrale perché le spinte hanno diversi versi quindi la somma è vettoriale

Si calcolano le componenti x, y, z e si sommano

$$dS_x = P dA \cos \hat{m}_x$$

$$dS_y = P dA \cos \hat{m}_y$$

$$dS_z = P dA \cos \hat{m}_z$$



$$dA_x = dA \cos \hat{m}_x$$

$$dA_y = dA \cos \hat{m}_y$$

$$dA_z = dA \cos \hat{m}_z$$

proiezione area

$$dS_x = P \cdot dA_x$$

$$dS_y = P \cdot dA_y$$

$$dS_z = P \cdot dA_z$$

$$S_x = \int_{A_x} P dA_x = \gamma h_x A_x$$

$$S_y = \int_{A_y} P dA_y$$

$$S_z = \int_{A_z} P dA_z = \gamma h_z A_z = \gamma W$$

affondamento baricentro Ax rispetto al PCI

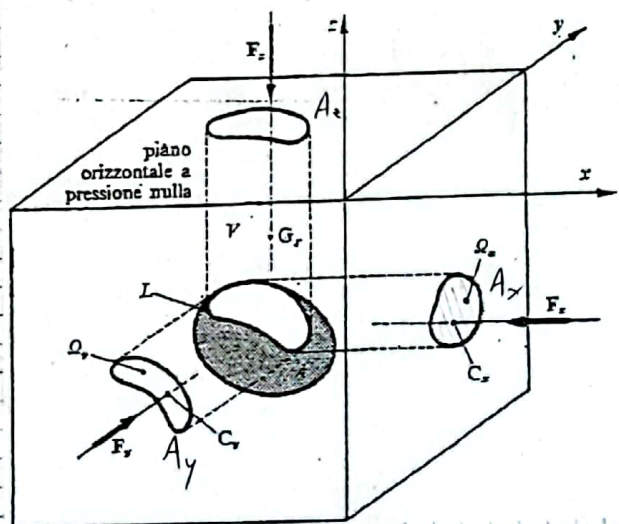
peso volume individuato da PCI e superficie

$$S_c = \sqrt{S_x^2 + S_y^2}$$

FORZA ORIZZONTALE

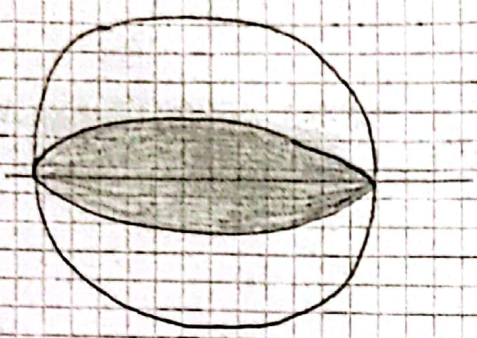
$$S_v = S_z$$

FORZA VERTICALE



Questo metodo prende il nome di METODO DELLE COMPONENTI
 Possono capitare casi più semplici in cui la superficie è contenuta
 in un piano (es. arco di cerchio)

Consideriamo una sfera, tagliandola con un piano otteniamo
 una circonferenza contenuta in un piano



Per le applicazioni della spinta
 in questi casi si può apprezzare:

**EQUAZIONE GLOBALE DELLA
 STATICA DEI FLUIDI**

EQUAZIONE GLOBALE DELLA STATICA DEI FLUIDI

Si dimostra a partire dalle eq. indefinite della statica dei fluidi:

$\vec{pR} = \text{grad } P$ vale per un volume infinitesimo

$\int_w \vec{pR} dw = \int_w \text{grad } P dw$ ↙ integrazione

forza di massa per unità di massa

Tutto l'integrato rappresenta la forza peso \vec{G}

Attraverso th. di Green si può passare da un integrale doppio ad uno di superficie

$\int_w \left(\frac{\partial P}{\partial x} \vec{i} + \frac{\partial P}{\partial y} \vec{j} + \frac{\partial P}{\partial z} \vec{k} \right) dw = - \int_A P (\vec{i} \cos \alpha + \vec{j} \cos \beta + \vec{k} \cos \gamma) dA$

superficie che delimita w

$= - \int_A P \vec{m} dA$

Quindi

$\left[\vec{G} + \sum \vec{T} = \vec{0} \right]$

si consideri la sommatoria perché il volume può avere diverse superfici

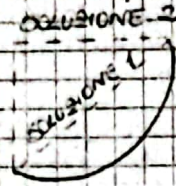
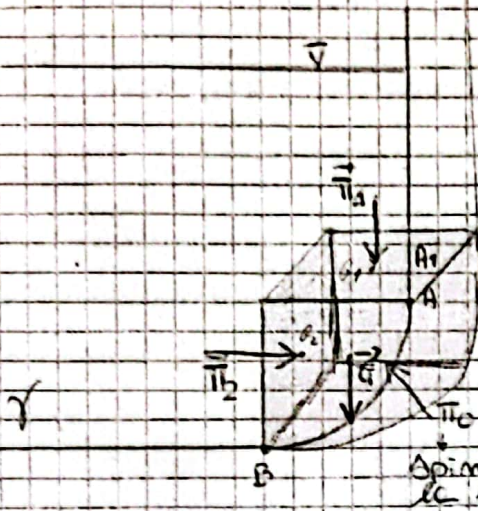
\vec{G} forza peso del volume di controllo

$\sum \vec{T}$ azione che il liquido che circonda il volume esercita sulla superficie

Affinché il corpo sia in quiete le forze sono in equilibrio

Immaginiamo di avere un serbatoio con questa geometria

Colociamo la spinta su AB
Scegliamo un volume di controllo
(una porzione di superficie deve
coincidere con questa curva)



Applichiamo l'equazione globale
della statica

$$\vec{G} + \sum_i \vec{\Pi}_i = \vec{0}$$

Spinta che la sup. curva esercita sul liquido

$$\Pi_1 = P_1 \cdot A_1 \text{ (applicata nel baricentro di } A_1)$$

$$\Pi_2 = P_2 \cdot A_2 \text{ (applicata nel centro di spinta)}$$

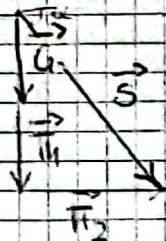
$$\vec{G} + \vec{\Pi}_1 + \vec{\Pi}_2 + \vec{S} = \vec{0} \text{ la spinta}$$

Lo scopo è calcolare quale il liquido esercita sulla superficie curva

$$\vec{S} = -\vec{\Pi}_0 = \vec{G} + \vec{\Pi}_1 + \vec{\Pi}_2$$

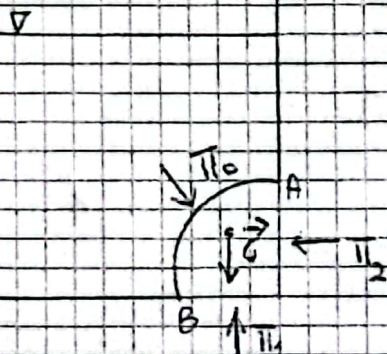
$$G = \gamma W$$

Si calcola S a partire dalla
somma delle componenti



Possiamo studiare anche superficie con concavità diverse

Si sceglie un volume di controllo
che non è occupato dal liquido
e si ipotizza che ci sia
liquido all'interno



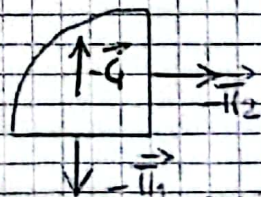
$$\vec{G} + \vec{\Pi}_1 + \vec{\Pi}_2 + \vec{\Pi}_0 = \vec{0}$$

$$\vec{S} = \vec{\Pi}_0 = -\vec{G} - \vec{\Pi}_1 - \vec{\Pi}_2$$

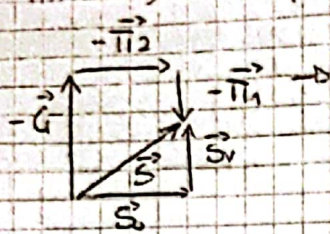
Il volume è fittizio

$$-G = \gamma W$$

$\Pi_2 = P \cdot A$ (verso viene dettato dalla pressione, se è positivo l'ambiente spinge verso l'esterno)

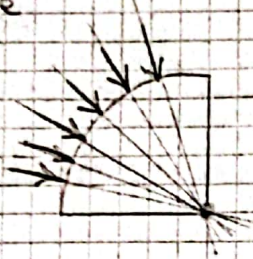


Per calcolare la spinta che il liquido esercita sulla parete
 bisogna sommare le componenti



questo disegno non è corretto
 poiché Π_1 è maggiore in modulo
 rispetto a Π_2 poiché la pressione
 sul fondo è maggiore

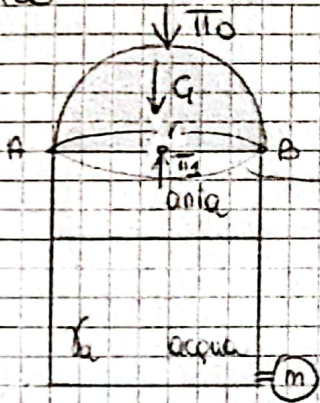
Per quanto riguarda il centro di spinta, nel caso di geometrie
 semplici la retta di azione passa per il centro di curvatura
 della superficie



53:30

Caso 2

Consideriamo un serbatoio con acqua e aria cioè un fluido a basso
 peso specifico



Applichiamo l'eq. statica della
 statica al volume di controllo
 È un volume reale

è una circonferenza
 la spinta Π_1 è verso l'alto e la
 pressione è positiva

MANOMETRO: ci dà info
 SEMPLICE sulla pressione

$$\vec{G} + \vec{\Pi}_1 + \vec{\Pi}_0 = \vec{0}$$

$$\Pi_1 = P \cdot A$$

$$\vec{S} = -\vec{\Pi}_0 = \vec{G} + \vec{\Pi}_1$$

$$G = \gamma W$$

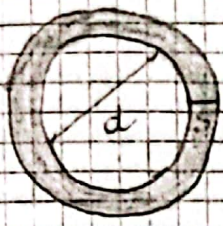
Se il peso specifico
 del fluido è trascurabile
 si può trascurare G
 e la spinta è uguale a Π_1

LEGGI DI MARIOTTE

permette di calcolare lo spessore di una condotta in pressione

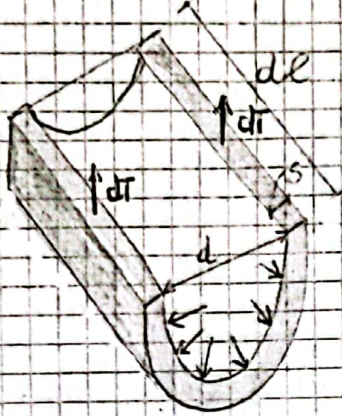
pressione di servizio

Sezione tubo



Immaginiamo di aver misurato la pressione al centro della condotta e di voler calcolare lo spessore della condotta affinché resisteva alla pressione

Se mezzo tubo agisce una forza legata alla pressione.



Per calcolare la spinta, poiché la superficie è curva bisogna applicare l'eq. geometria della statica.

Però l'angolo è quello della pressione e non della forza

SPINTA SU SUPERFICIE PIANA

$$P \cdot d \cdot de$$

pressione area

dT FORZE ESERCITATE DAL CONDOTTO SUPERIORE

Affinché ci sia l'equilibrio la somma di tutte le forze deve essere nulla

→ G si può trascurare

$$P \cdot d \cdot de = 2 \cdot dT \rightarrow \text{si può esprimere in funzione del CARICO DI SICUREZZA A TRAZIONE}$$

↓
sono legate alle capacità del tubo

$$d = \frac{dT}{s \cdot de}$$

$$P \cdot d \cdot de = 2 \cdot d \cdot s \cdot de$$

$$s = \frac{P \cdot d}{2 \cdot \sigma}$$

La scelta del tubo non è influenzata solo da d (che è legato alla portata) ma anche dallo spessore

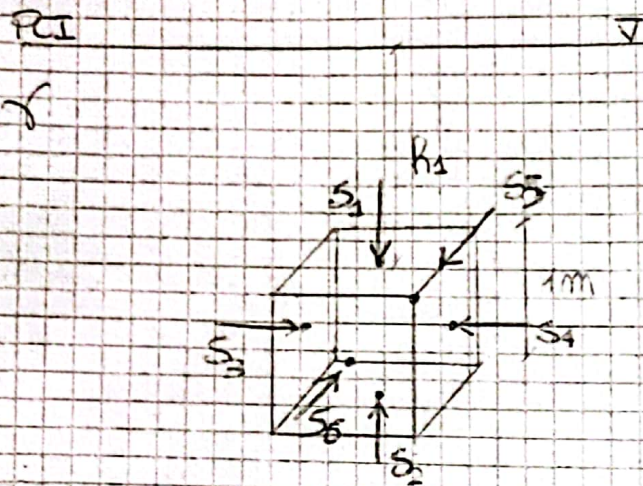
dipende dal tipo di materiale

dipende dalla portata che deve trasportare

1:11:50

SPINTA SU UN CORPO TOTALMENTE IMMERSO

Consideriamo un corpo tot. immerso e calcoliamo la spinta che il liquido esercita sul corpo



Calcoliamo la spinta risultante che il liquido esercita sul cubo di lato unitario.

$V = 1\text{m}^3$ volume

$A = 1\text{m}^2$ AREA

Il problema è semplice poiché le pareti sono piane

Si individuano, basici centri delle forze F_i e i rispettivi affondamenti h_i

$$S_1 = \gamma h_1 \cdot A$$

$$S_2 = \gamma (h_1 + 1\text{m}) \cdot A$$

Le spinte S_3, S_4, S_5, S_6 hanno lo stesso modulo poiché l'affondamento è lo stesso

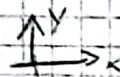
$$S_3 = \gamma (h_1 + 0,5) A$$

$$\vec{S} = \vec{S}_1 + \vec{S}_2 + \vec{S}_3 + \vec{S}_4 + \vec{S}_5 + \vec{S}_6$$

Fissiamo un sistema di riferimento e calcoliamo le componenti orizzontali e verticali

$$S_x = 0$$

$$S_y = S_2 - S_1$$



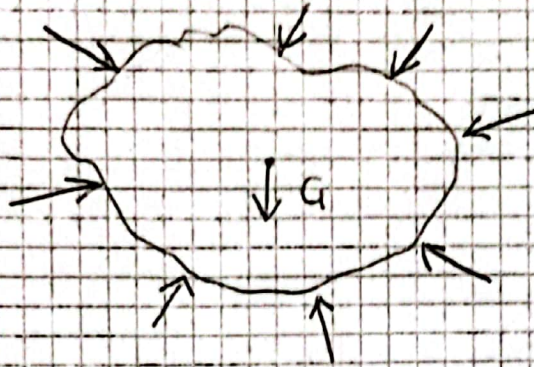
$$S_y = \gamma (h_1 + 1) A - \gamma h_1 A = \gamma A \cdot 1 = \gamma W$$

La spinta risultante non dipende dalla posizione del cubo rispetto alla superficie libera poiché h_1 si cancella.

La forza risultante è diretta dal basso verso l'alto

La spinta esercitata dal liquido è pari al peso del volume del liquido spostato

Supponiamo che il corpo abbia una forma qualsiasi e che il volume sia delimitato da più porzioni di superficie



$$\vec{G} + \vec{\Pi} = \vec{0}$$

peso del volume di controllo (fittizio)

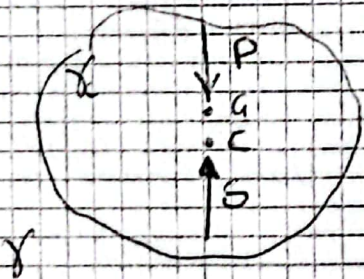
unica superficie chiusa

$$\vec{S} = \vec{\Pi} = -\vec{G}$$

Dato un corpo di forma qualsiasi, la risultante delle forze che il liquido esercita sul corpo, è una forza diretta verso l'alto pari al peso del liquido spostato da spinta e nota come **[SPINTA DI ARCHIMEDE]**

$$S = \gamma W$$

$$P = \gamma_c W$$



Immaginiamo che γ sia il peso specifico del corpo e γ_c sia il peso specifico dell'acqua

La forza peso è applicata su G che coincide con C se il corpo è omogeneo.

C è il baricentro della massa d'acqua spostata.

Considerazioni di STABILITÀ

Affinché il corpo sia in equilibrio

$$P = S$$

il corpo affonda se $P > S$ cioè $\gamma_c > \gamma$

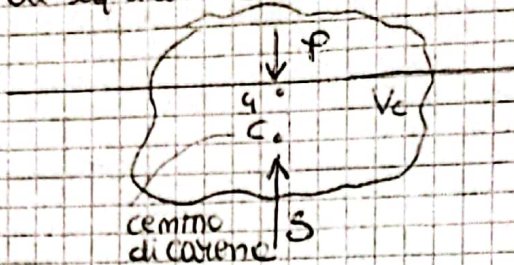
il corpo galleggia se $P < S$ cioè $\gamma_c < \gamma$

Se $\gamma_c = \gamma$
equilibrio
stabilmente
soddisfatto

Anche la risultante dei momenti deve essere uguale a zero cioè G e C devono essere allineati

$$\gamma_c < \gamma$$

Il corpo tende a muoversi per ripristinare la condizione di equilibrio



$$S = \gamma_c \cdot V_c$$

Volume di carena (immerso)

Il peso P è sempre lo stesso, ciò che varia è la spinta perché $V_c \neq V$

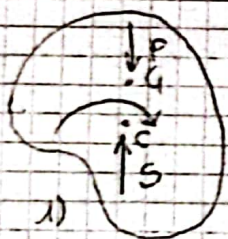
Dopo un certo tempo si raggiunge l'equilibrio ovvero

$$P = S$$

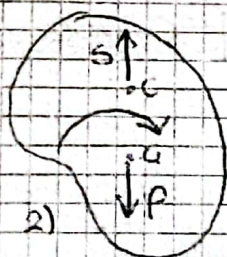
Vi sono tre possibili condizioni di equilibrio

INSTABILE

Si studia meglio alle notazioni orizzontali



STABILE



INDIFFERENTE

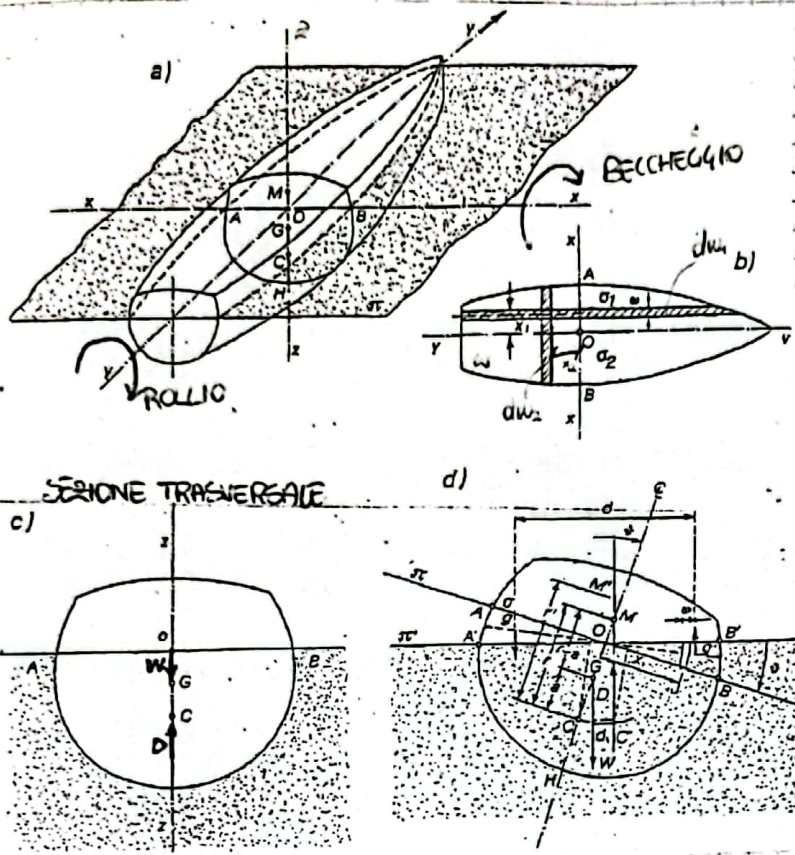
Selezionando la struttura, in orizzontale o con notazione, il corpo rimane nella sua nuova configurazione.

1) Andando a ruotare il corpo, nasce nel primo caso una coppia che fa ruotare il corpo allontanandolo dalla sua posizione di equilibrio (rotazione oraria)

2) Nel secondo caso, nasce una coppia di restoring che riporta il corpo nella sua posizione di equilibrio poiché il momento che nasce è opposto a quello che seleziona la struttura

Questo vale soltanto per i corpi immersi

STABILITA' DEI CORPI GALLEGGIANTI



Consideriamo nella figura a) un'imbarcazione con assi di simmetria xx' e zz'.

Il natante è in equilibrio ma bisogna capire se l'equilibrio è STABILE O INSTABILE.

La stabilità riguarda le rotazioni attorno agli assi orizzontali.

La rotazione attorno all'asse y prende il nome di MOTO DI ROLLO.

La rotazione attorno all'asse x prende il nome di MOTO DI BECCHEGGIO.

Bisogna attenuare il moto di ROLLO perché risulta il più problematico per la stabilità.

Consideriamo una stiviera SW (figura b). La stabilità dipende dal momento d'inerzia della sezione di galleggiamento.

La SEZIONE DI GALLEGGIAMENTO è data dall'intersezione della sezione libera (π) e l'imbarcazione.

Posiamo calcolare il momento d'inerzia rispetto a y

$$\int_w dw_1 x_1^2 dw$$

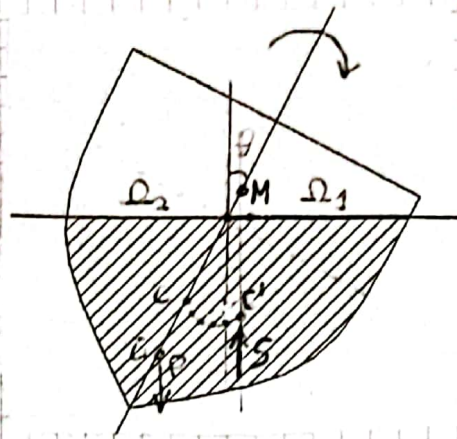
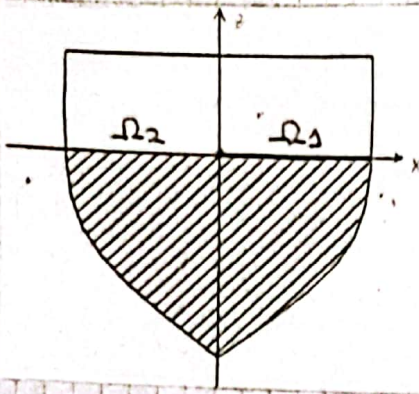
\int area
 dw_1 infinitesimo stiviera
 x_1^2 distanza

Oppure rispetto all'asse x

$$\int_w dw_2 x_2^2 dw$$

Il momento rispetto a y è minore poiché le distanze sono minori perciò la stabilità viene studiata lungo y.

I casi completamente sommersi sono più semplici da studiare in quanto a seguito di una rotazione il volume di carena è il medesimo. Ma per i natanti non è così o per meglio dire il volume bagnato è lo stesso ma si sposta il centro di carena.



Possiamo notare che le ultime è lo stesso e quindi anche la spinta di Archimede

In seguito alla notazione, la posizione del baricentro resta inalterata, il centro di carena si sposta verso destra ma la spinta di Archimede è la stessa

Bisogna definire il **METACENTRO** a partire dal prolungamento della retta d'azione della spinta

Il metacentro è fondamentale per la stabilità

Supponiamo che $\theta \leq 15^\circ$ allora la posizione di M è una posizione limite che si può calcolare un'area con conseguenza è che l'asse y è anche di simmetria

Si può osservare che se il natante non è inclinato l'area

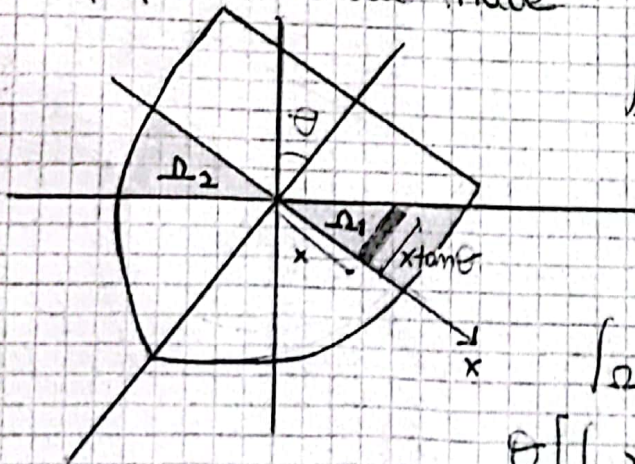
$\Omega_2 = \Omega_1$ cioè l'asse y è di simmetria

Ma in seguito ad una notazione $\Omega_2 \neq \Omega_1$ e l'asse di simmetria si sposta verso dx. Ma per notazioni piccole ciò si inasprisce

Dimostriamo che il volume di carena non cambia in seguito ad una notazione

Basta far notare che l'asse di notazione passa per il baricentro della sezione di galleggiamento

Prendiamo una strisciolina di area $d\Omega$ che si estende per tutta la profondità della nave



$$\int_{\Omega_1} x \tan \theta d\Omega = - \int_{\Omega_2} x \tan \theta d\Omega$$

le x sono
negative
o simmetriche

Per angoli piccoli $\tan \theta \approx \theta$

$$\int_{\Omega_1} x \theta d\Omega = - \int_{\Omega_2} x \theta d\Omega$$

$$\theta \left[\int_{\Omega_1} x d\Omega + \int_{\Omega_2} x d\Omega \right] = 0$$

$$\Omega = \Omega_1 + \Omega_2$$

$$\theta \int_{\Omega} x d\Omega = 0$$

Per $\theta \rightarrow 0$ allora $\int_{\Omega} x d\Omega = 0$ per la regola dell'annullamento del prodotto

L'integrale rappresenta il momento statico della sezione rispetto all'asse y.

Questo integrale si annulla quando il baricentro cade sull'asse di simmetria

$$X_G A = 0$$

Quindi aver dimostrato che $\int x d\Omega = 0$ vuol dire che l'asse di notazione è di simmetria

Per $\theta \rightarrow 0$

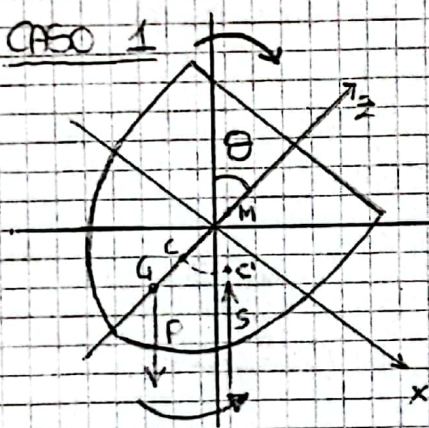
- Ω non cambia e $\Omega_1 = \Omega_2$
- il metacentro assume una posizione limite
- l'asse y è l'asse di simmetria

ovvero il centro della circonferenza con arco di cerchi individuato dalla posizione dei centri di spinta per $\theta = 15^\circ$

Per Team

[22:00]

La STABILITÀ è strettamente legata alla posizione del baricentro G. Esistono 3 combinazioni, sono 3 punti da attenzionare (G, C, M)



[CONDIZIONE DI STABILITÀ] (G si trova al di sotto di C e M)

In seguito alla rotazione, G e C non si inclinano sulla stessa verticale e nasce un momento stabilizzante che tenderà a riportare le navi in una condizione di equilibrio

Possiamo calcolare il raggio metacentrico

$$\overline{CM} = z_M - z_C$$

z_M è positiva
 z_C è negativa
ma con il segno meno davanti diventa positiva perciò $CM > 0$

$$\overline{CG} = z_G - z_C$$

z_G è negativa
 z_C è negativa
ma con il segno meno davanti diventa positiva
tuttavia $z_G > z_C$ in modulo perciò $CG < 0$

\overline{CM} RAGGIO METACENTRICO

\overline{GM} ALTEZZA METACENTRICA

1. $\overline{CG} < \overline{CM}$

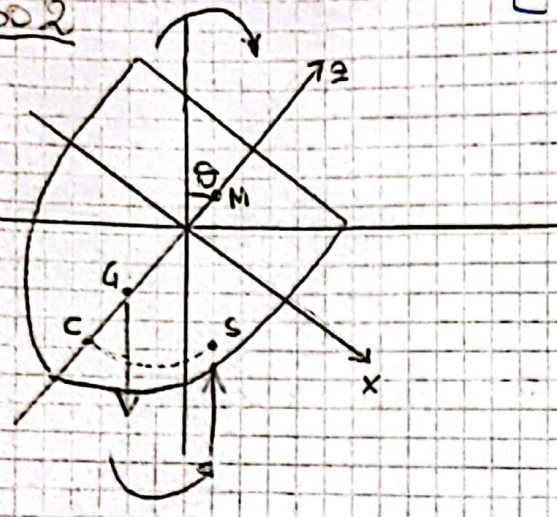
2. $\overline{GM} > 0$

$$\overline{GM} = z_M - z_G > 0$$

Affinché ci sia la condizione di stabilità bisogna verificare la condizione 1. e 2. che risultano equivalenti

[CONDIZIONE DI STABILITA'] (G si trova al di sotto di C)

CASO 2



A differenza dei casi precedenti, se C si trova al di sotto di G, nasce una coppia stabilizzante che tende a riportare le matante nella condizione di equilibrio

$$\overline{CM} = (z_M - z_C) > 0$$

$$\overline{CG} = (z_G - z_C) > 0 \text{ perche' in modulo } z_C > z_G$$

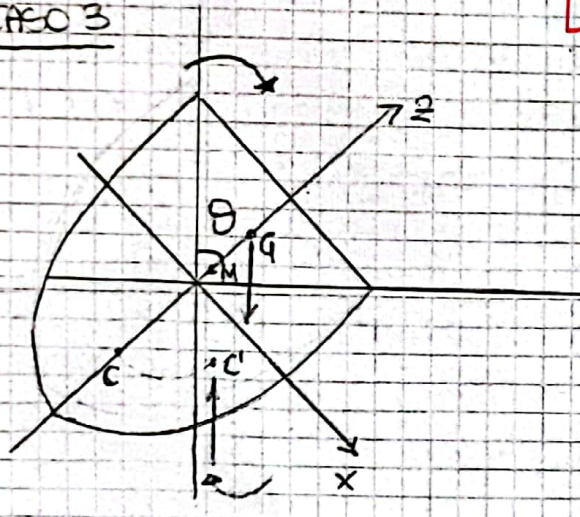
$$\overline{CM} > \overline{CG}$$

$$\overline{GM} > 0 \quad \overline{GM} = z_M - z_G$$

Le condizioni sono medesime al caso precedente

Rec. Imp. [31:40]

CASO 3



[CONDIZIONE DI INSTABILITA'] (G si trova al di sopra di C e M)

In questo caso, in seguito alla rotazione, nasce una coppia destabilizzante che tende a far ruotare ulteriormente le matante

$$\overline{CM} = (z_M - z_C) > 0$$

$$\overline{CG} = (z_G - z_C) > 0$$

$$\overline{CM} < \overline{CG}$$

Condizioni di instabilita'

$$\overline{GM} < 0 \quad \overline{GM} = z_M - z_G$$

La posizione di G non e' fissa, ovviamente dipende da questo che trasportata la nave e di come sono distribuite

Tanto più grande e' \overline{GM} quanto maggiore sarà il momento stabilizzante

In una nave da crociera $\overline{GM} \approx 1m$ (sono meno sicure)

Le navi da guerra $\overline{GM} \approx 3m$

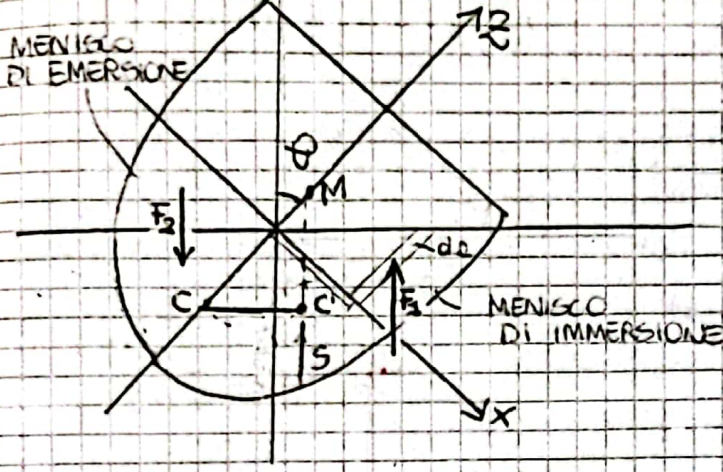
Pescherecci $\overline{GM} \approx 1,5m$

Per le navi da crociera \overline{GM} e' piccolo perche' bisogna garantire il confort

Tanto maggiore e' \overline{GM} quanto minore e' il confort perche' nascono momenti che hanno periodi di oscillazione piccoli

47:00
 quindi per valutare le condizioni di stabilità bisogna confrontare CM e CG

Ma come si calcola CM?



Ma due menischi danno due forze pari al peso specifico per il volume

Nel menisco di emersione la forza è diretta verso il basso perché è una forza peso

Nel menisco di immersione la forza è diretta verso l'alto perché è una spinta

Le due forze generano una coppia di momento uguale a quello che la spinta forma rispetto a C (questo non è il momento stabilizzante) → momento di S rispetto a C

MOMENTO SPINTA RISPETTO C = MOMENTO DI RICHIANO F_1 E F_2

$$\frac{\gamma V_c \bar{CM} \sin \theta}{S} = \int_{\Omega_2} \gamma x \theta d\Omega \cdot x + \int_{\Omega_1} \gamma x \theta d\Omega \cdot x$$

VOLUME STRISCIA INFINITESIMA BRACCIO VOLUME

58:14
 17:02

$$\gamma V_c \bar{CM} \theta = \gamma \theta \int_{\Omega} x^2 d\Omega \rightarrow \gamma V_c \bar{CM} \theta = \gamma \theta I$$

MOMENTO D'INERZIA DI TUTTA LA SEZIONE DI GALLEGGIAMENTO RISPETTO ALL'ASSE Y (VEDI FIGURA B)

$$\bar{CM} = z_M - z_C$$

$$\bar{CM} = \frac{I}{V_c}$$

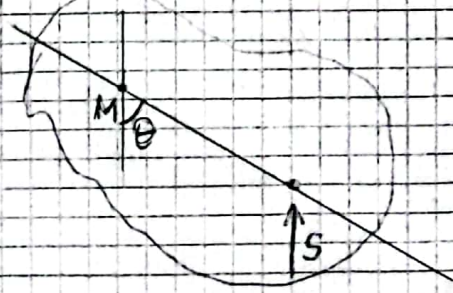
VOLUME DI CARENA

$$z_M = \frac{I}{V_c} + \frac{I}{V_c}$$

18:10

59:30

Vi è una relazione tra \bar{CM} e il periodo di oscillazione. Il galleggiante è come se fosse un pendolo che ruota attorno al metacentro



$$M_s = \gamma V_c \bar{CM} \theta$$

MOMENTO STABILIZZANTE

I^* MOMENTO D'INERZIA DELLA MASSA RISPETTO AD UN ASSE TRASVERSALE CHE PASSA PER M (massa trasversale)

Equazione del moto del metacentro

$$I^* \frac{d^2 \theta}{dt^2} = -M_s$$

segno meno perché la spinta è diretta verso l'alto a differenza della forza peso

$$I \frac{d^2 \theta}{dt^2} + \gamma \sqrt{V} \overline{GM} \theta = 0$$

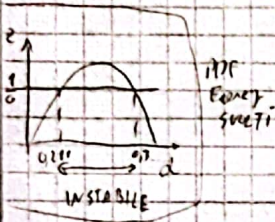
Risolvendo l'eq. si può ricavare il periodo.

$$T = 2\pi \sqrt{\frac{I^*}{\gamma \sqrt{V} \overline{GM}}}$$

- il periodo è inversamente proporzionale alla distanza tra a e M .
- il calcolo di I^* non è immediato ma esistono delle formule sperimentali che ci permettono di calcolare T .

$$T = K_R \cdot \frac{B}{\sqrt{\overline{GM}}}$$

NUMERO CHE VARIA DA IMBARCAZIONE A IMBARCAZIONE
(SI PUÒ ASSUMERE $K_R = 0,73$)



tanto più grande è \overline{GM} quanto maggiore è la stabilità del motante e minore sarà il periodo di oscillazione e quindi le confort.

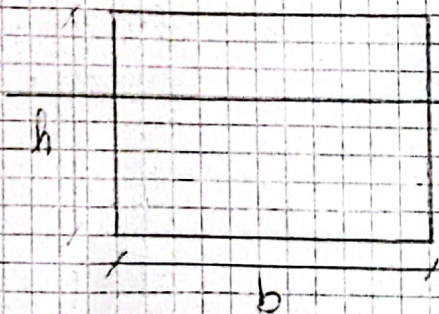
1:16:00) SOL 1m)

In fase di progettazione bisogna lavorare sul momento di inerzia I cioè tanto più è larga la nave tanto maggiore sarà il momento d'inerzia e quindi sarà alto il momento d'inerzia.

La stabilità di un motante può essere garantita lavorando su:

- FORMA IMBARCAZIONE: stabilità in forma
- POSIZIONE DEL BARICENTRO: stabilità in peso (distacco masse)

Se in fase di progetto l'imbarcazione non è stabile allora è possibile aumentare il momento d'inerzia.



$$I = \frac{1}{12} b h^3$$

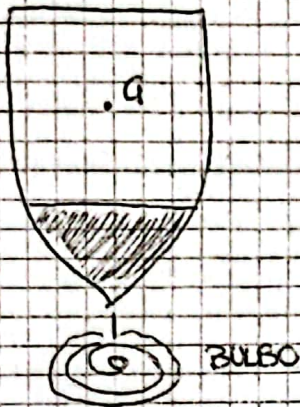
La forma influenza il momento d'inerzia (STABILITÀ IN FORMA)

Le imbarcazioni leggere hanno un baricentro alto ma risultano spacciate per aumentare il momento d'inerzia.

Tuttavia se la larghezza è elevata, la resistenza è elevata (resistenza al moto)

Nel caso di imbarcazioni strette, la stabilità è garantita mediante il disaccoppiamento delle masse

Si possono immergere sul fondo dei pesi aggiuntivi (ghiaia o pesi) oppure un bulbo esterno

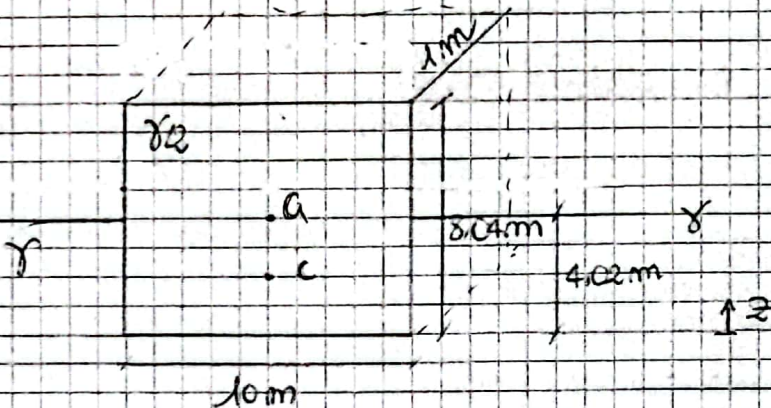


Nel caso delle navi da crociera, non meno che si consumano le cariche, vengono riempiti i serbatoi di acqua (analogia con le petroliere)

1:14:20

ESEMPIO NUMERICO

Immaginiamo che un cubo sia parzialmente immerso con un peso specifico pari alla metà di quello dell'acqua allora il cubo sarà immerso a metà



Corpo omogeneo e quindi baricentro delle masse coincide con il baricentro geometrico

$$V_c = 4,02 \text{ m} \cdot 10 \text{ m} \cdot 1 \text{ m} = 40,2 \text{ m}^3$$

$$z_g = \frac{8,04 \text{ m}}{2} = 4,02 \text{ m}$$

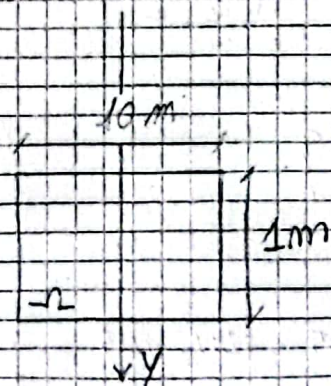
$$z_c = \frac{4,02 \text{ m}}{2} = 2,01 \text{ m}$$

Verifica di stabilità

$$I = \frac{1}{12} 10^3 1 \quad \text{momento d'inerzia} \rightarrow$$

$$\frac{I}{V_c} = \frac{\frac{1}{12} 10^3 1}{40,2} = 2,07 \text{ m} = \overline{CM}$$

$$z_m = z_c + \frac{I}{V_c} = 2,01 \text{ m} + 2,07 \text{ m} = 4,08 \text{ m}$$

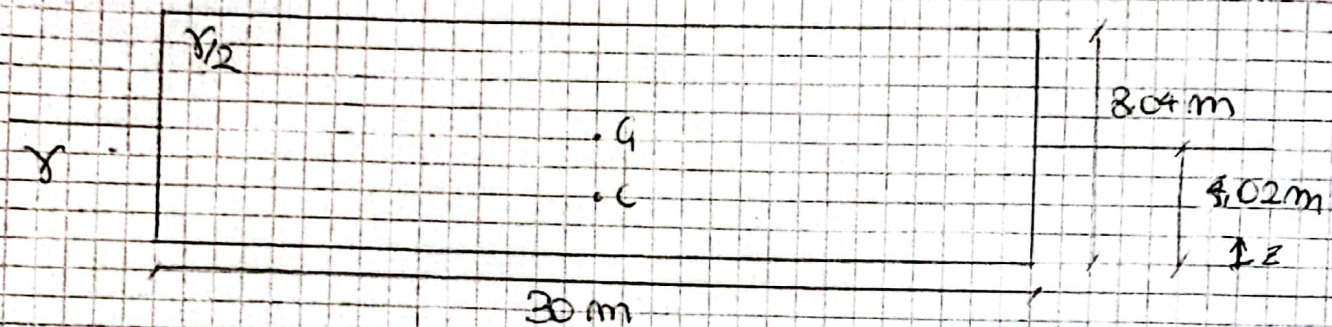


$$\bar{GM} = z_m - z_G = 4,08 \text{ m} - 4,02 \text{ m} = 0,06 \text{ m} = 6 \text{ cm} > 0$$

Siamo a limite di stabilità

$$T = K_R \frac{B}{\sqrt{\bar{GM}}} \approx 30 \text{ s}$$

Immaginiamo di modificare la forma del natante



$$z_G = 4,02 \text{ m}$$

$$z_C = 2,01 \text{ m}$$

→ non sono cambiati rispetto al caso precedente

$$V_C = 30 \text{ m} \cdot 4,02 \text{ m} \cdot 1 \text{ m} = 120,6 \text{ m}^3 \quad (\text{tripla rispetto al caso precedente})$$

$$\bar{CM} = \frac{I}{V_C} = \frac{\frac{1}{12} 30^3 \cdot 1}{120,6} = 18,657 \text{ m}$$

$$z_m = z_C + \bar{CM} = 2,01 \text{ m} + 18,66 \text{ m} = 20,67 \text{ m}$$

$$\bar{GM} = z_m - z_G = 20,67 \text{ m} - 4,02 \text{ m} = 16,65 \text{ m}$$

Triplando la base, si ottiene un valore di \bar{GM} molto maggiore, però aumenta la stabilità ma si riduce il periodo di oscillazione e quindi anche il comfort.

$$T = 0,73 \sqrt{\frac{30}{16,64}} = 5,36 \text{ s}$$

$$(\uparrow) \quad T = K_R \cdot \frac{B}{\sqrt{\bar{GM}}}$$

Fine lezione 5 2021/03/05